Full wwPDB NMR Structure Validation Report (i)

Jun 5, 2023 – 12:52 PM JST

PDB ID	:	5WT7
BMRB ID	:	36039
Title	:	FAS1-IV domain of Human Periostin
Authors	:	Yun, H.; Lee, C.W.
Deposited on	:	2016-12-09

This is a Full wwPDB NMR Structure Validation Report for a publicly released PDB entry.

We welcome your comments at *validation@mail.wwpdb.org*
A user guide is available at
https://www.wwpdb.org/validation/2017/NMRValidationReportHelp
with specific help available everywhere you see the (i) symbol.

The types of validation reports are described at
http://www.wwpdb.org/validation/2017/FAQs#types.

The following versions of software and data (see references (1)) were used in the production of this report:

MolProbity	:	4.02b-467
Percentile statistics	:	20191225.v01 (using entries in the PDB archive December 25th 2019)
wwPDB-RCI	:	v_1n_11_5_13_A (Berjanski et al., 2005)
PANAV	:	Wang et al. (2010)
wwPDB-ShiftChecker	:	v1.2
BMRB Restraints Analysis	:	v1.2
Ideal geometry (proteins)	:	Engh & Huber (2001)
Ideal geometry (DNA, RNA)	:	Parkinson et al. (1996)
Validation Pipeline (wwPDB-VP)	:	2.33

1 Overall quality at a glance (i)

The following experimental techniques were used to determine the structure:
SOLUTION NMR

The overall completeness of chemical shifts assignment is 92%.

Percentile scores (ranging between 0-100) for global validation metrics of the entry are shown in the following graphic. The table shows the number of entries on which the scores are based.

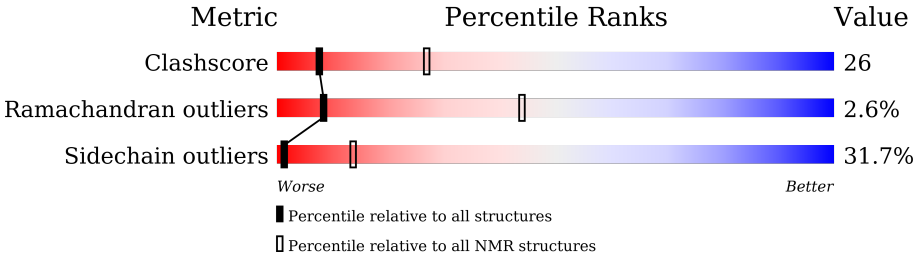

Metric	Whole archive (#Entries)	NMR archive (#Entries)
Clashscore	158937	12864
Ramachandran outliers	154571	11451
Sidechain outliers	154315	11428

The table below summarises the geometric issues observed across the polymeric chains and their fit to the experimental data. The red, orange, yellow and green segments indicate the fraction of residues that contain outliers for >=3, 2, 1 and 0 types of geometric quality criteria. A cyan segment indicates the fraction of residues that are not part of the well-defined cores, and a grey segment represents the fraction of residues that are not modelled. The numeric value for each fraction is indicated below the corresponding segment, with a dot representing fractions <=5%

Mol	Chain	Length	Quality of chain
1	A	140	36% 46% 6% 12%

2 Ensemble composition and analysis (i)

This entry contains 23 models. Model 8 is the overall representative, medoid model (most similar to other models). The authors have identified model 1 as representative, based on the following criterion: *lowest energy*.

The following residues are included in the computation of the global validation metrics.

Well-defined (core) protein residues			
Well-defined core	**Residue range (total)**	**Backbone RMSD (Å)**	**Medoid model**
1	A:5-A:49, A:53-A:81, A:88-A:136 (123)	0.71	8

Ill-defined regions of proteins are excluded from the global statistics.

Ligands and non-protein polymers are included in the analysis.

The models can be grouped into 5 clusters and 3 single-model clusters were found.

Cluster number	Models
1	6, 7, 9, 13, 14, 16, 17, 19, 21
2	2, 4, 8, 12
3	3, 11, 22
4	20, 23
5	1, 5
Single-model clusters	10; 15; 18

3 Entry composition (i)

There is only 1 type of molecule in this entry. The entry contains 2245 atoms, of which 1141 are hydrogens and 0 are deuteriums.

- Molecule 1 is a protein called Periostin.

Mol	Chain	Residues	Atoms						Trace
			Total	C	H	N	O	S	
1	A	140	2245	710	1141	179	212	3	0

There are 3 discrepancies between the modelled and reference sequences:

Chain	Residue	Modelled	Actual	Comment	Reference
A	1	GLY	-	expression tag	UNP Q15063
A	2	ALA	-	expression tag	UNP Q15063
A	3	MET	-	expression tag	UNP Q15063

4 Residue-property plots (i)

4.1 Average score per residue in the NMR ensemble

These plots are provided for all protein, RNA, DNA and oligosaccharide chains in the entry. The first graphic is the same as shown in the summary in section 1 of this report. The second graphic shows the sequence where residues are colour-coded according to the number of geometric quality criteria for which they contain at least one outlier: green = 0, yellow = 1, orange = 2 and red = 3 or more. Stretches of 2 or more consecutive residues without any outliers are shown as green connectors. Residues which are classified as ill-defined in the NMR ensemble, are shown in cyan with an underline colour-coded according to the previous scheme. Residues which were present in the experimental sample, but not modelled in the final structure are shown in grey.

• Molecule 1: Periostin

Chain A: 36% 46% 6% 12%

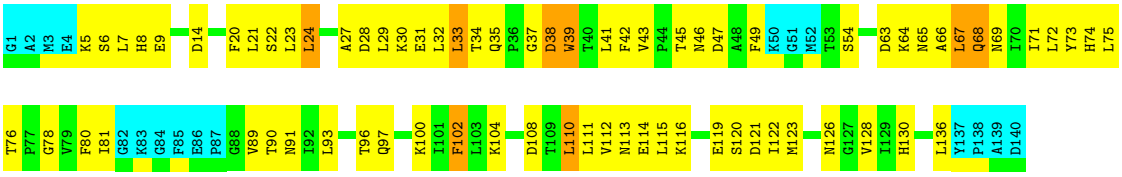

4.2 Scores per residue for each member of the ensemble

Colouring as in section 4.1 above.

4.2.1 Score per residue for model 1

• Molecule 1: Periostin

Chain A: 39% 31% 17% • 12%

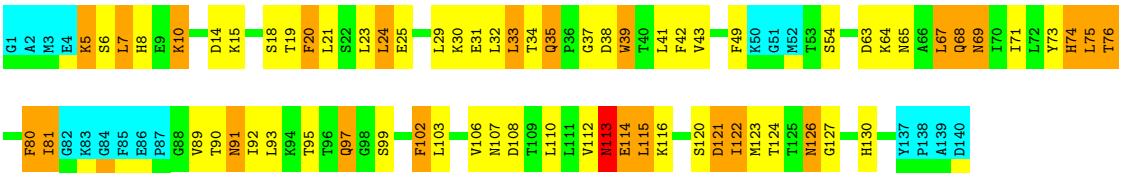

4.2.2 Score per residue for model 2

• Molecule 1: Periostin

Chain A: 39% 36% 13% 12%

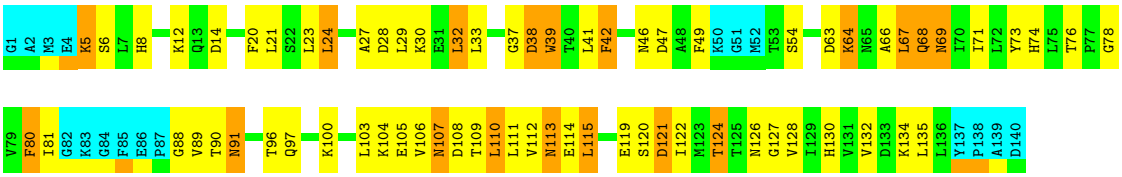

4.2.3 Score per residue for model 3

- Molecule 1: Periostin

Chain A: 36% 36% 16% 12%

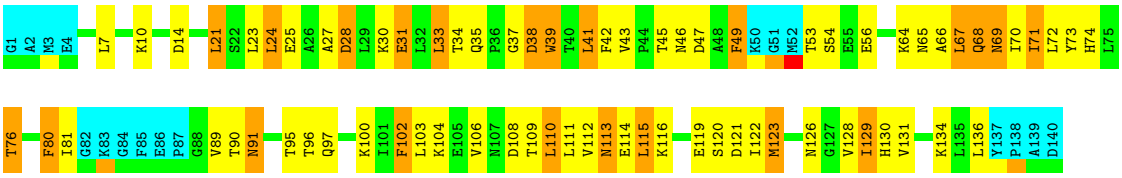

4.2.4 Score per residue for model 4

- Molecule 1: Periostin

Chain A: 39% 34% 14% 12%

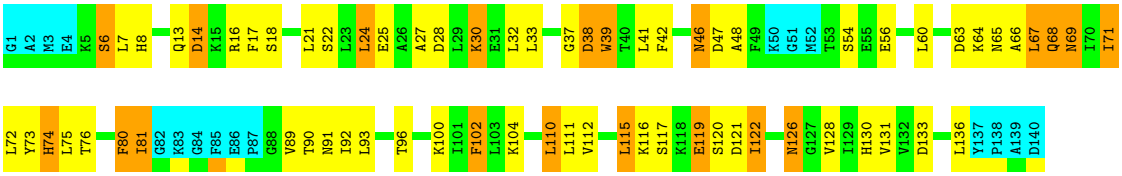

4.2.5 Score per residue for model 5

- Molecule 1: Periostin

Chain A: 39% 33% 16% 12%

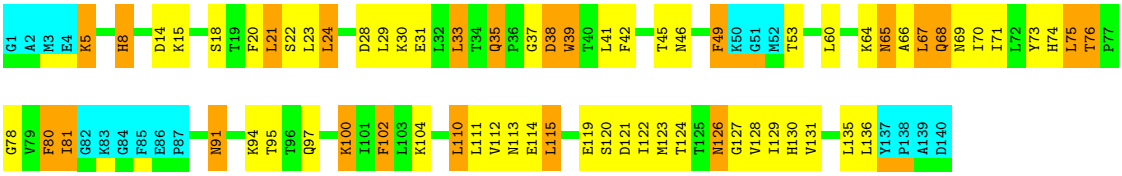

4.2.6 Score per residue for model 6

- Molecule 1: Periostin

Chain A: 36% 36% 14% • 12%

G1 A2 M3 E4 K5 S6 L7 H8 E9 D14 L21 S22 L23 L24 E25 A26 A27 D28 L29 K30 E31 L32 L33 T34 Q35 P36 G37 D38 W39 T40 L41 F42 V43 P44 T45 N46 F49 K50 G51 M52 T53 S54 E55 E56 D63 K64 N65 A66 L67 Q68 N69 I70 I71 L72 Y73 H74

L75 T76 P77 G78 V79 F80 I81 G82 K83 G84 F85 E86 P87 G88 V89 I92 L93 K94 Q97 G98 S99 K100 I101 F102 L103 K104 N107 D108 T109 L110 L111 V112 N113 E114 S117 S120 D121 I122 M123 T124 T125 N126 G127 V128 I129 H130 V131 V132 L135 L136 Y137 P138 A139 D140

4.2.7 Score per residue for model 7

- Molecule 1: Periostin

Chain A: 41% 34% 14% 12%

G1 A2 M3 E4 K5 S6 L7 H8 E9 D14 L21 S22 L23 L24 E25 A26 A27 D28 L29 K30 E31 L32 L33 T34 Q35 D38 W39 T40 L41 F42 V43 N46 F49 K50 G51 M52 E58 R62 D63 K64 N65 A66 L67 Q68 N69 I70 I71 L72 Y73 H74 L75 T76 P77

F80 I81 G82 K83 G84 F85 E86 P87 T90 N91 I92 L93 F102 L103 K104 L110 L111 V112 N113 E114 L115 K116 S120 D121 I122 M123 T124 T125 V128 I129 H130 L136 Y137 P138 A139 D140

4.2.8 Score per residue for model 8 (medoid)

- Molecule 1: Periostin

Chain A: 44% 29% 14% 12%

G1 A2 M3 E4 L7 H8 K12 R16 F17 S18 T19 F20 L21 S22 L23 L24 D28 L29 K30 E31 L32 L33 T34 Q35 D38 W39 T40 L41 F42 T45 N46 F49 K50 G51 M52 K57 D63 K64 N65 A66 L67 Q68 N69 I70 I71 L72 Y73 H74 L75 T76 P77

G78 V79 F80 I81 G82 K83 G84 F85 E86 P87 T95 S99 K100 I101 F102 L103 K104 E105 V106 N107 D108 T109 L110 L111 V112 N113 E114 L115 K116 S120 D121 I122 M123 N126 G127 V128 I129 H130 Y137 P138 A139 D140

4.2.9 Score per residue for model 9

- Molecule 1: Periostin

Chain A: 42% 34% 11% • 12%

G1 A2 M3 E4 K5 S6 L7 H8 E9 Q13 D14 L21 S22 L23 L24 L29 K30 E31 L32 L33 T34 Q35 P36 G37 D38 L41 F42 V43 P44 T45 N46 D47 A48 F49 K50 G51 M52 E56 D63 K64 N65 A66 L67 Q68 N69 I70 I71 L72 Y73 H74 L75 T76 F80

I81 G82 K83 G84 F85 E86 P87 T90 N91 T96 Q97 G98 S99 K100 I101 F102 L103 K104 D108 T109 L110 L111 V112 N113 E114 L115 S120 D121 I122 M123 N126 H130 D133 Y137 P138 A139 D140

4.2.10 Score per residue for model 10

- Molecule 1: Periostin

Chain A: 52% 27% 9% 12%

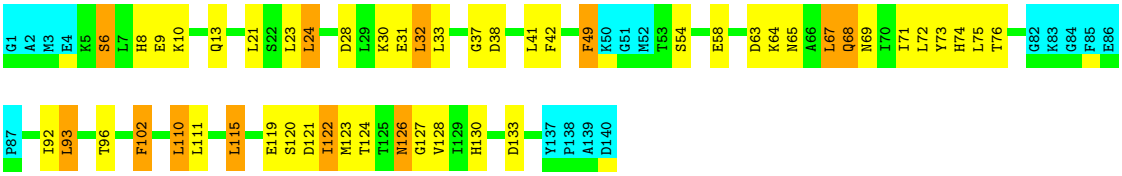

4.2.11 Score per residue for model 11

- Molecule 1: Periostin

Chain A: 39% 34% 15% • 12%

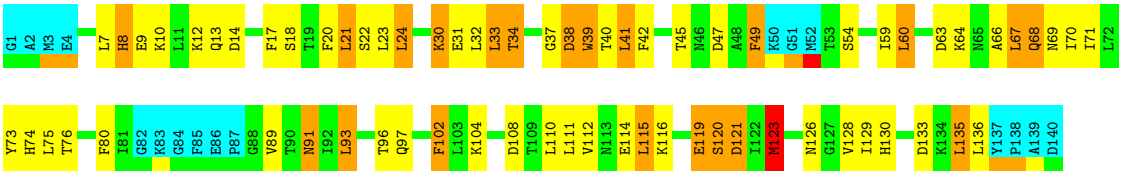

4.2.12 Score per residue for model 12

- Molecule 1: Periostin

Chain A: 37% 39% 11% 12%

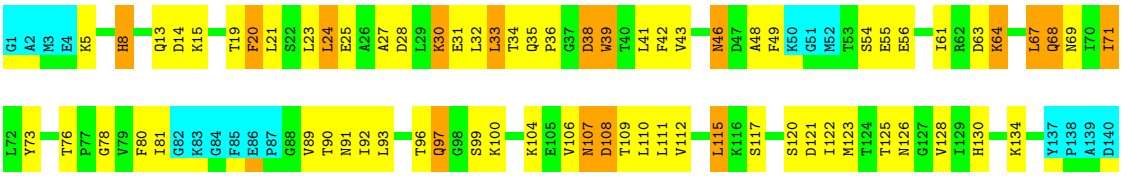

4.2.13 Score per residue for model 13

- Molecule 1: Periostin

Chain A: 41% 36% 11% 12%

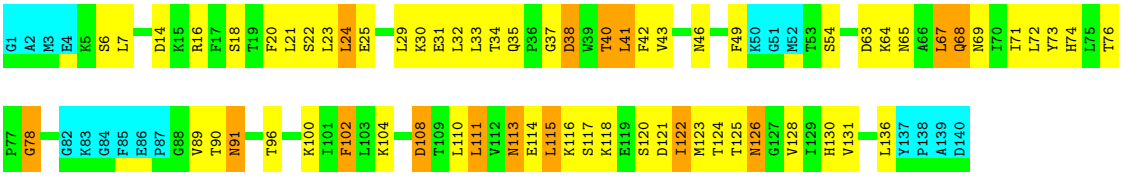

4.2.14 Score per residue for model 14

- Molecule 1: Periostin

Chain A: 39% 35% 14% 12%

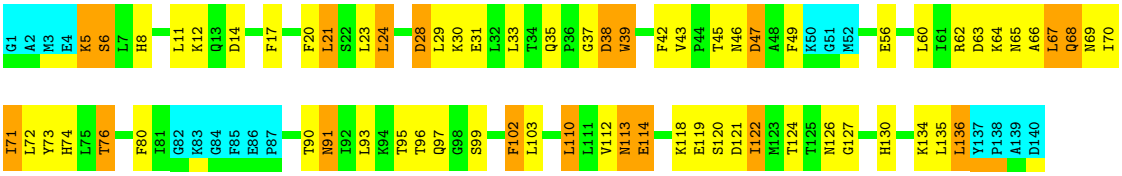

4.2.15 Score per residue for model 15

- Molecule 1: Periostin

Chain A: 39% 35% 14% 12%

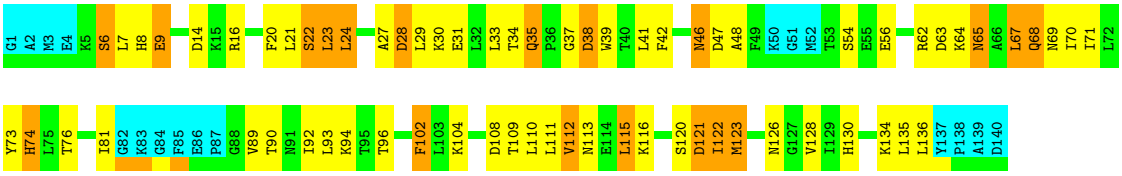

4.2.16 Score per residue for model 16

- Molecule 1: Periostin

Chain A: 40% 31% 16% 12%

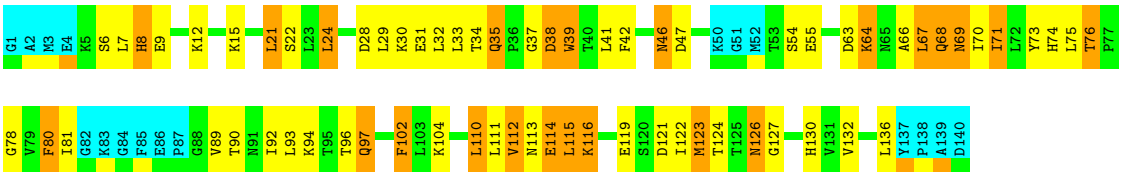

4.2.17 Score per residue for model 17

- Molecule 1: Periostin

Chain A: 40% 35% 13% 12%

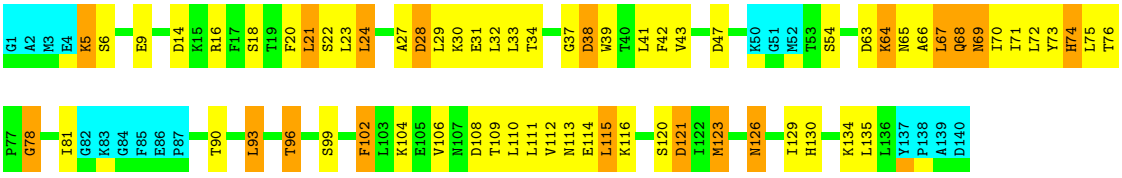

4.2.18 Score per residue for model 18

- Molecule 1: Periostin

Chain A: 38% 34% 16% 12%

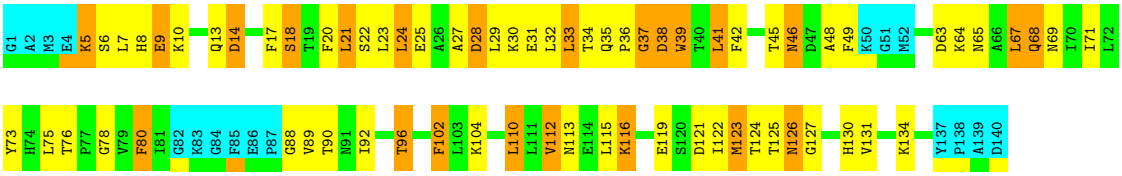

4.2.19 Score per residue for model 19

- Molecule 1: Periostin

Chain A: 37% 36% 13% • 12%

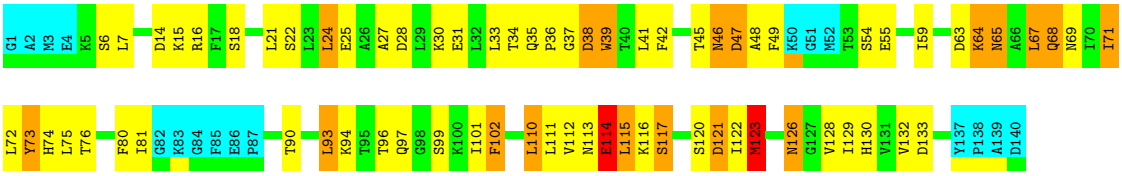

4.2.20 Score per residue for model 20

- Molecule 1: Periostin

Chain A: 37% 35% 14% • 12%

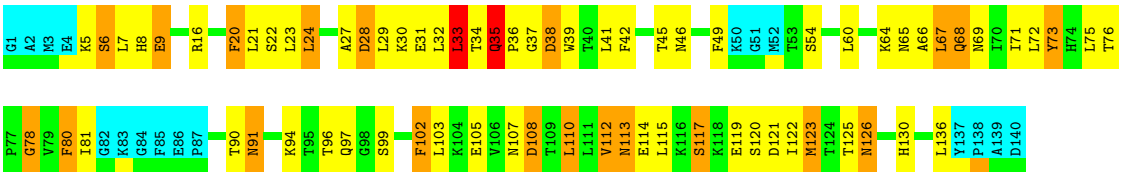

4.2.21 Score per residue for model 21

- Molecule 1: Periostin

Chain A: 43% 36% 9% 12%

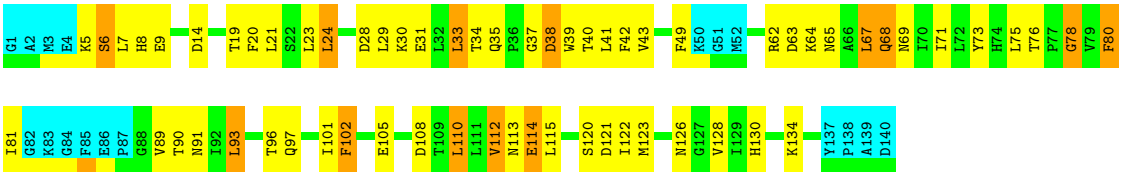

4.2.22 Score per residue for model 22

- Molecule 1: Periostin

Chain A: 37% 36% 14% 12%

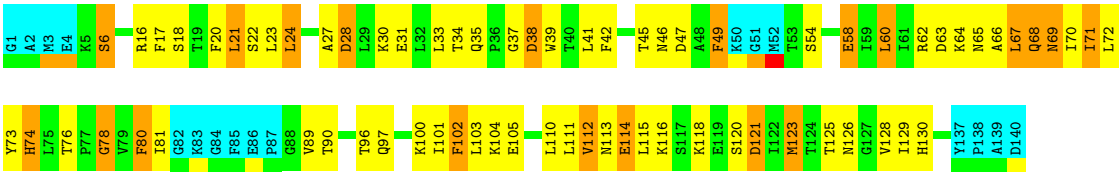

4.2.23 Score per residue for model 23

- Molecule 1: Periostin

Chain A: 40% 32% 16% 12%

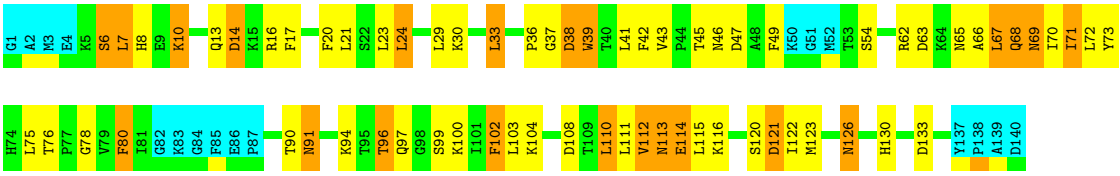

5 Refinement protocol and experimental data overview (i)

The models were refined using the following method: *DGSA-distance geometry simulated annealing.*

Of the 100 calculated structures, 23 were deposited, based on the following criterion: *structures with the lowest energy.*

The following table shows the software used for structure solution, optimisation and refinement.

Software name	**Classification**	**Version**
X-PLOR NIH	refinement	
CYANA	structure calculation	

The following table shows chemical shift validation statistics as aggregates over all chemical shift files. Detailed validation can be found in section 7 of this report.

Chemical shift file(s)	working_cs.cif
Number of chemical shift lists	1
Total number of shifts	1778
Number of shifts mapped to atoms	1778
Number of unparsed shifts	0
Number of shifts with mapping errors	0
Number of shifts with mapping warnings	0
Assignment completeness (well-defined parts)	92%

6 Model quality (i)

6.1 Standard geometry (i)

There are no covalent bond-length or bond-angle outliers.

There are no bond-length outliers.

There are no bond-angle outliers.

There are no chirality outliers.

There are no planarity outliers.

6.2 Too-close contacts (i)

In the following table, the Non-H and H(model) columns list the number of non-hydrogen atoms and hydrogen atoms in each chain respectively. The H(added) column lists the number of hydrogen atoms added and optimized by MolProbity. The Clashes column lists the number of clashes averaged over the ensemble.

Mol	Chain	Non-H	H(model)	H(added)	Clashes
1	A	981	1027	1024	51±7
All	All	22563	23621	23552	1183

The all-atom clashscore is defined as the number of clashes found per 1000 atoms (including hydrogen atoms). The all-atom clashscore for this structure is 26.

All unique clashes are listed below, sorted by their clash magnitude.

Atom-1	Atom-2	Clash(Å)	Distance(Å)	Models	
				Worst	Total
1:A:67:LEU:HD23	1:A:68:GLN:N	0.99	1.71	3	23
1:A:31:GLU:O	1:A:34:THR:HG22	0.91	1.66	15	13
1:A:76:THR:OG1	1:A:95:THR:HG22	0.82	1.75	3	3
1:A:93:LEU:N	1:A:93:LEU:HD13	0.80	1.91	10	2
1:A:33:LEU:HD23	1:A:34:THR:N	0.80	1.92	11	2
1:A:110:LEU:HD13	1:A:130:HIS:CE1	0.78	2.13	19	16
1:A:32:LEU:HD23	1:A:33:LEU:HD22	0.74	1.58	10	1
1:A:112:VAL:O	1:A:114:GLU:N	0.74	2.21	1	11
1:A:29:LEU:HD13	1:A:32:LEU:HD21	0.72	1.61	17	5
1:A:75:LEU:HD12	1:A:76:THR:N	0.72	2.00	1	6
1:A:103:LEU:N	1:A:103:LEU:HD23	0.71	2.00	22	1
1:A:81:ILE:O	1:A:81:ILE:HG22	0.69	1.85	15	1
1:A:67:LEU:HD23	1:A:68:GLN:H	0.69	1.47	10	23
1:A:24:LEU:C	1:A:24:LEU:HD12	0.68	2.08	7	23

Continued on next page...

Continued from previous page...

Atom-1	Atom-2	Clash(Å)	Distance(Å)	Models	
				Worst	Total
1:A:93:LEU:C	1:A:93:LEU:HD22	0.68	2.08	19	3
1:A:42:PHE:CZ	1:A:130:HIS:ND1	0.68	2.61	9	19
1:A:102:PHE:N	1:A:102:PHE:CD2	0.68	2.61	11	18
1:A:122:ILE:HD12	1:A:122:ILE:N	0.68	2.03	7	7
1:A:35:GLN:O	1:A:37:GLY:N	0.68	2.26	18	1
1:A:49:PHE:CG	1:A:49:PHE:O	0.67	2.46	11	4
1:A:93:LEU:HD13	1:A:93:LEU:H	0.67	1.50	21	3
1:A:126:ASN:ND2	1:A:126:ASN:H	0.66	1.88	17	2
1:A:23:LEU:HD12	1:A:24:LEU:N	0.66	2.06	7	17
1:A:6:SER:HG	1:A:8:HIS:CD2	0.66	2.09	10	6
1:A:20:PHE:CZ	1:A:73:TYR:CE1	0.65	2.84	21	4
1:A:41:LEU:C	1:A:41:LEU:HD22	0.65	2.11	3	1
1:A:8:HIS:H	1:A:8:HIS:CD2	0.65	2.05	11	5
1:A:41:LEU:HD12	1:A:42:PHE:N	0.65	2.07	6	4
1:A:20:PHE:CE1	1:A:73:TYR:CE2	0.65	2.84	8	5
1:A:42:PHE:CZ	1:A:130:HIS:CE1	0.65	2.85	14	18
1:A:71:ILE:O	1:A:73:TYR:CE1	0.65	2.50	20	5
1:A:126:ASN:ND2	1:A:126:ASN:N	0.64	2.44	1	2
1:A:8:HIS:ND1	1:A:9:GLU:N	0.64	2.44	15	6
1:A:41:LEU:HD12	1:A:41:LEU:C	0.64	2.13	19	13
1:A:41:LEU:C	1:A:41:LEU:HD13	0.64	2.12	7	8
1:A:20:PHE:CZ	1:A:73:TYR:CZ	0.63	2.86	8	7
1:A:73:TYR:C	1:A:74:HIS:CG	0.63	2.72	8	5
1:A:19:THR:HG22	1:A:23:LEU:HD23	0.63	1.71	21	3
1:A:7:LEU:HD12	1:A:7:LEU:H	0.63	1.52	11	1
1:A:110:LEU:HD13	1:A:130:HIS:ND1	0.62	2.08	19	1
1:A:106:VAL:O	1:A:107:ASN:ND2	0.62	2.32	2	2
1:A:115:LEU:HD12	1:A:115:LEU:C	0.62	2.15	9	16
1:A:20:PHE:CE1	1:A:73:TYR:CZ	0.62	2.87	22	5
1:A:20:PHE:CE1	1:A:73:TYR:CD1	0.62	2.87	20	2
1:A:60:LEU:N	1:A:60:LEU:HD12	0.62	2.10	4	1
1:A:24:LEU:HD12	1:A:24:LEU:O	0.61	1.95	14	9
1:A:37:GLY:H	1:A:126:ASN:ND2	0.61	1.92	13	3
1:A:35:GLN:HE21	1:A:35:GLN:N	0.61	1.93	20	1
1:A:20:PHE:CE1	1:A:73:TYR:CE1	0.61	2.87	14	3
1:A:74:HIS:N	1:A:74:HIS:ND1	0.61	2.48	22	5
1:A:20:PHE:CZ	1:A:73:TYR:CE2	0.61	2.88	12	3
1:A:92:ILE:C	1:A:93:LEU:HD12	0.61	2.16	1	6
1:A:29:LEU:O	1:A:33:LEU:HD23	0.61	1.95	15	5
1:A:93:LEU:CD1	1:A:93:LEU:N	0.60	2.64	21	3
1:A:80:PHE:O	1:A:80:PHE:CG	0.60	2.52	21	8

Continued on next page...

Continued from previous page...

Atom-1	Atom-2	Clash(Å)	Distance(Å)	Models	
				Worst	Total
1:A:7:LEU:H	1:A:126:ASN:ND2	0.60	1.93	8	2
1:A:35:GLN:HE21	1:A:35:GLN:H	0.60	1.37	20	1
1:A:112:VAL:HG13	1:A:114:GLU:CG	0.59	2.27	1	1
1:A:93:LEU:HD13	1:A:93:LEU:N	0.59	2.12	21	3
1:A:7:LEU:N	1:A:126:ASN:ND2	0.59	2.50	8	1
1:A:40:THR:O	1:A:75:LEU:HD12	0.59	1.97	21	2
1:A:69:ASN:OD1	1:A:70:ILE:N	0.59	2.36	22	3
1:A:31:GLU:O	1:A:35:GLN:NE2	0.59	2.35	14	8
1:A:7:LEU:HD12	1:A:126:ASN:OD1	0.58	1.98	8	1
1:A:126:ASN:H	1:A:126:ASN:HD22	0.58	1.39	17	2
1:A:115:LEU:HD12	1:A:116:LYS:N	0.58	2.13	1	3
1:A:80:PHE:CZ	1:A:93:LEU:HD22	0.58	2.34	14	1
1:A:107:ASN:ND2	1:A:109:THR:OG1	0.58	2.36	2	1
1:A:72:LEU:O	1:A:73:TYR:CD2	0.57	2.57	9	1
1:A:20:PHE:CZ	1:A:73:TYR:CD2	0.57	2.92	12	1
1:A:71:ILE:O	1:A:73:TYR:CD2	0.57	2.57	8	13
1:A:42:PHE:CE2	1:A:130:HIS:CE1	0.57	2.91	22	6
1:A:71:ILE:O	1:A:73:TYR:CD1	0.57	2.58	22	11
1:A:72:LEU:O	1:A:73:TYR:CD1	0.57	2.56	19	1
1:A:64:LYS:O	1:A:67:LEU:HD23	0.57	2.00	9	19
1:A:38:ASP:C	1:A:39:TRP:CD1	0.57	2.78	15	18
1:A:72:LEU:O	1:A:75:LEU:N	0.57	2.37	20	5
1:A:60:LEU:N	1:A:60:LEU:CD1	0.56	2.68	4	2
1:A:42:PHE:CE1	1:A:130:HIS:CG	0.56	2.93	16	1
1:A:67:LEU:CD2	1:A:68:GLN:N	0.56	2.63	14	22
1:A:65:ASN:O	1:A:69:ASN:ND2	0.56	2.38	5	6
1:A:119:GLU:OE1	1:A:120:SER:N	0.56	2.38	11	1
1:A:116:LYS:CB	1:A:116:LYS:NZ	0.56	2.68	18	1
1:A:46:ASN:H	1:A:46:ASN:HD22	0.56	1.44	16	1
1:A:33:LEU:HD23	1:A:33:LEU:N	0.56	2.16	20	6
1:A:66:ALA:O	1:A:69:ASN:OD1	0.56	2.24	23	6
1:A:27:ALA:O	1:A:28:ASP:OD2	0.56	2.22	20	1
1:A:49:PHE:O	1:A:49:PHE:CD2	0.56	2.59	8	3
1:A:126:ASN:N	1:A:126:ASN:OD1	0.56	2.39	19	2
1:A:42:PHE:CE2	1:A:130:HIS:CD2	0.55	2.94	19	1
1:A:120:SER:OG	1:A:130:HIS:CD2	0.55	2.59	23	4
1:A:115:LEU:HD13	1:A:116:LYS:N	0.55	2.16	17	4
1:A:74:HIS:CE1	1:A:136:LEU:O	0.55	2.60	6	4
1:A:67:LEU:HD23	1:A:67:LEU:C	0.55	2.22	3	4
1:A:37:GLY:N	1:A:126:ASN:ND2	0.55	2.54	20	2
1:A:17:PHE:O	1:A:20:PHE:N	0.55	2.40	18	2

Continued on next page...

Continued from previous page...

Atom-1	Atom-2	Clash(Å)	Distance(Å)	Models	
				Worst	Total
1:A:37:GLY:O	1:A:126:ASN:C	0.55	2.45	18	2
1:A:8:HIS:CD2	1:A:8:HIS:H	0.54	2.18	23	2
1:A:71:ILE:O	1:A:73:TYR:CZ	0.54	2.59	10	6
1:A:20:PHE:CZ	1:A:73:TYR:CD1	0.54	2.95	21	2
1:A:37:GLY:O	1:A:126:ASN:O	0.54	2.26	23	18
1:A:122:ILE:N	1:A:122:ILE:CD1	0.54	2.70	7	5
1:A:37:GLY:O	1:A:39:TRP:NE1	0.54	2.41	23	2
1:A:42:PHE:CD2	1:A:136:LEU:HD11	0.54	2.36	11	1
1:A:106:VAL:O	1:A:109:THR:N	0.54	2.40	8	5
1:A:80:PHE:CD1	1:A:80:PHE:O	0.54	2.61	20	7
1:A:93:LEU:N	1:A:93:LEU:CD1	0.54	2.65	10	2
1:A:35:GLN:O	1:A:126:ASN:ND2	0.54	2.39	21	2
1:A:66:ALA:O	1:A:69:ASN:ND2	0.54	2.40	3	4
1:A:107:ASN:HD22	1:A:107:ASN:N	0.54	2.01	12	2
1:A:6:SER:OG	1:A:126:ASN:ND2	0.54	2.41	14	2
1:A:38:ASP:O	1:A:78:GLY:N	0.54	2.41	17	5
1:A:122:ILE:HG22	1:A:123:MET:H	0.54	1.63	15	1
1:A:7:LEU:HD21	1:A:41:LEU:CD2	0.54	2.33	1	1
1:A:73:TYR:C	1:A:74:HIS:ND1	0.54	2.61	14	7
1:A:8:HIS:O	1:A:12:LYS:N	0.53	2.40	8	2
1:A:123:MET:SD	1:A:123:MET:N	0.53	2.80	22	1
1:A:130:HIS:CD2	1:A:132:VAL:HG13	0.53	2.38	16	3
1:A:120:SER:O	1:A:121:ASP:OD2	0.53	2.27	7	2
1:A:8:HIS:CD2	1:A:33:LEU:O	0.53	2.62	11	1
1:A:75:LEU:O	1:A:96:THR:N	0.53	2.42	17	3
1:A:6:SER:OG	1:A:8:HIS:CD2	0.53	2.62	10	5
1:A:120:SER:HG	1:A:130:HIS:CE1	0.52	2.22	19	1
1:A:117:SER:OG	1:A:130:HIS:NE2	0.52	2.41	20	1
1:A:121:ASP:O	1:A:123:MET:SD	0.52	2.67	22	1
1:A:6:SER:OG	1:A:8:HIS:NE2	0.52	2.40	23	4
1:A:6:SER:OG	1:A:8:HIS:CE1	0.52	2.62	23	4
1:A:39:TRP:HB3	1:A:77:PRO:HA	0.52	1.81	7	1
1:A:97:GLN:OE1	1:A:99:SER:N	0.52	2.43	12	3
1:A:71:ILE:O	1:A:73:TYR:CG	0.52	2.63	14	4
1:A:69:ASN:C	1:A:69:ASN:ND2	0.52	2.62	7	5
1:A:115:LEU:CD1	1:A:116:LYS:N	0.52	2.72	1	1
1:A:69:ASN:ND2	1:A:97:GLN:OE1	0.52	2.43	22	1
1:A:14:ASP:OD1	1:A:17:PHE:CE2	0.52	2.63	4	1
1:A:93:LEU:HD12	1:A:93:LEU:N	0.52	2.19	7	4
1:A:120:SER:O	1:A:121:ASP:CB	0.52	2.58	14	16
1:A:38:ASP:C	1:A:39:TRP:CG	0.52	2.82	7	4

Continued on next page...

Continued from previous page...

Atom-1	Atom-2	Clash(Å)	Distance(Å)	Models	
				Worst	Total
1:A:6:SER:HG	1:A:8:HIS:CE1	0.52	2.21	23	1
1:A:38:ASP:O	1:A:39:TRP:CD1	0.52	2.63	12	5
1:A:71:ILE:O	1:A:73:TYR:CE2	0.51	2.63	1	5
1:A:42:PHE:CE1	1:A:130:HIS:ND1	0.51	2.78	2	3
1:A:116:LYS:CB	1:A:116:LYS:HZ2	0.51	2.18	18	1
1:A:33:LEU:HD23	1:A:33:LEU:C	0.51	2.26	12	2
1:A:136:LEU:N	1:A:136:LEU:CD2	0.51	2.73	20	2
1:A:31:GLU:O	1:A:34:THR:CG2	0.51	2.59	12	2
1:A:136:LEU:N	1:A:136:LEU:HD22	0.51	2.21	20	2
1:A:60:LEU:HD23	1:A:60:LEU:N	0.51	2.21	11	2
1:A:100:LYS:N	1:A:100:LYS:CD	0.51	2.73	5	1
1:A:16:ARG:NE	1:A:17:PHE:CE2	0.51	2.79	23	1
1:A:7:LEU:H	1:A:126:ASN:HD21	0.51	1.48	16	2
1:A:32:LEU:HD23	1:A:32:LEU:H	0.51	1.66	4	1
1:A:38:ASP:OD2	1:A:38:ASP:N	0.51	2.43	18	3
1:A:30:LYS:HA	1:A:33:LEU:HD22	0.51	1.83	12	2
1:A:70:ILE:HD12	1:A:70:ILE:N	0.50	2.20	14	2
1:A:101:ILE:O	1:A:101:ILE:HG23	0.50	2.07	22	1
1:A:74:HIS:ND1	1:A:74:HIS:N	0.50	2.59	15	1
1:A:64:LYS:O	1:A:67:LEU:CD2	0.50	2.60	21	20
1:A:27:ALA:O	1:A:28:ASP:CB	0.50	2.59	6	12
1:A:60:LEU:O	1:A:66:ALA:HB3	0.50	2.06	20	2
1:A:24:LEU:C	1:A:24:LEU:CD1	0.50	2.78	14	17
1:A:92:ILE:N	1:A:92:ILE:HD13	0.50	2.22	18	2
1:A:28:ASP:O	1:A:28:ASP:CG	0.50	2.50	20	1
1:A:104:LYS:O	1:A:111:LEU:O	0.50	2.29	4	15
1:A:7:LEU:HD13	1:A:33:LEU:HD11	0.50	1.83	8	1
1:A:32:LEU:CD2	1:A:33:LEU:HD22	0.50	2.32	10	1
1:A:32:LEU:HD23	1:A:33:LEU:H	0.50	1.66	11	2
1:A:55:GLU:OE1	1:A:59:ILE:HD11	0.50	2.07	19	1
1:A:69:ASN:O	1:A:97:GLN:NE2	0.50	2.45	23	1
1:A:6:SER:OG	1:A:7:LEU:N	0.50	2.44	4	5
1:A:14:ASP:OD1	1:A:16:ARG:NE	0.49	2.45	4	2
1:A:70:ILE:N	1:A:70:ILE:CD1	0.49	2.75	14	1
1:A:35:GLN:C	1:A:37:GLY:N	0.49	2.66	18	1
1:A:63:ASP:OD1	1:A:65:ASN:N	0.49	2.43	19	1
1:A:21:LEU:O	1:A:25:GLU:CG	0.49	2.60	7	1
1:A:134:LYS:CG	1:A:135:LEU:N	0.49	2.74	17	1
1:A:30:LYS:O	1:A:33:LEU:CD2	0.49	2.60	11	2
1:A:8:HIS:NE2	1:A:126:ASN:OD1	0.49	2.45	12	1
1:A:67:LEU:O	1:A:71:ILE:N	0.49	2.42	9	6

Continued on next page...

Continued from previous page...

Atom-1	Atom-2	Clash(Å)	Distance(Å)	Models	
				Worst	Total
1:A:37:GLY:O	1:A:127:GLY:N	0.49	2.45	18	1
1:A:32:LEU:O	1:A:34:THR:N	0.49	2.46	20	1
1:A:71:ILE:O	1:A:73:TYR:N	0.49	2.46	3	4
1:A:35:GLN:C	1:A:37:GLY:H	0.49	2.11	18	1
1:A:97:GLN:NE2	1:A:99:SER:OG	0.49	2.46	19	1
1:A:21:LEU:HD13	1:A:21:LEU:O	0.49	2.08	3	1
1:A:93:LEU:HD22	1:A:93:LEU:O	0.49	2.08	11	2
1:A:71:ILE:C	1:A:73:TYR:H	0.49	2.11	6	5
1:A:71:ILE:C	1:A:73:TYR:N	0.49	2.66	22	8
1:A:74:HIS:NE2	1:A:136:LEU:O	0.49	2.43	3	3
1:A:43:VAL:HG22	1:A:43:VAL:O	0.49	2.08	3	2
1:A:31:GLU:C	1:A:35:GLN:NE2	0.49	2.66	21	3
1:A:46:ASN:H	1:A:46:ASN:ND2	0.49	2.05	16	1
1:A:115:LEU:HD13	1:A:133:ASP:OD2	0.48	2.08	10	2
1:A:115:LEU:CD1	1:A:116:LYS:O	0.48	2.61	1	1
1:A:88:GLY:N	1:A:105:GLU:O	0.48	2.46	2	1
1:A:121:ASP:O	1:A:121:ASP:CG	0.48	2.50	22	1
1:A:80:PHE:CG	1:A:80:PHE:O	0.48	2.62	6	1
1:A:58:GLU:O	1:A:62:ARG:N	0.48	2.46	22	1
1:A:41:LEU:HD13	1:A:41:LEU:O	0.48	2.07	7	2
1:A:108:ASP:OD1	1:A:108:ASP:N	0.48	2.43	12	2
1:A:93:LEU:C	1:A:93:LEU:CD2	0.48	2.82	17	3
1:A:102:PHE:CE1	1:A:113:ASN:ND2	0.48	2.82	17	1
1:A:29:LEU:CD1	1:A:32:LEU:HD13	0.48	2.39	1	1
1:A:46:ASN:OD1	1:A:47:ASP:N	0.48	2.47	3	1
1:A:102:PHE:CD1	1:A:113:ASN:ND2	0.48	2.81	9	1
1:A:41:LEU:C	1:A:41:LEU:CD1	0.48	2.80	19	9
1:A:61:ILE:HD12	1:A:61:ILE:C	0.47	2.30	12	1
1:A:69:ASN:O	1:A:97:GLN:CG	0.47	2.62	1	1
1:A:20:PHE:N	1:A:20:PHE:CD2	0.47	2.79	5	2
1:A:122:ILE:HD12	1:A:122:ILE:H	0.47	1.69	5	1
1:A:69:ASN:ND2	1:A:70:ILE:N	0.47	2.61	7	1
1:A:34:THR:O	1:A:36:PRO:N	0.47	2.47	20	1
1:A:7:LEU:N	1:A:126:ASN:HD21	0.47	2.06	8	1
1:A:122:ILE:O	1:A:123:MET:CB	0.47	2.61	19	1
1:A:70:ILE:O	1:A:73:TYR:N	0.47	2.44	23	1
1:A:120:SER:O	1:A:121:ASP:OD1	0.47	2.32	1	3
1:A:110:LEU:HD23	1:A:111:LEU:N	0.47	2.24	3	8
1:A:112:VAL:C	1:A:114:GLU:N	0.47	2.68	8	2
1:A:113:ASN:O	1:A:114:GLU:CB	0.47	2.62	19	7
1:A:119:GLU:O	1:A:131:VAL:N	0.47	2.43	18	4

Continued on next page...

Continued from previous page...

Atom-1	Atom-2	Clash(Å)	Distance(Å)	Models	
				Worst	Total
1:A:37:GLY:N	1:A:126:ASN:HD21	0.47	2.08	13	1
1:A:7:LEU:CD2	1:A:124:THR:OG1	0.47	2.63	18	1
1:A:32:LEU:C	1:A:34:THR:N	0.47	2.66	20	1
1:A:38:ASP:OD1	1:A:38:ASP:N	0.47	2.48	4	3
1:A:104:LYS:O	1:A:111:LEU:N	0.47	2.45	23	4
1:A:21:LEU:HD23	1:A:21:LEU:O	0.47	2.09	11	7
1:A:32:LEU:H	1:A:32:LEU:CD2	0.47	2.21	4	1
1:A:49:PHE:CD1	1:A:49:PHE:C	0.47	2.88	11	3
1:A:12:LYS:HG2	1:A:21:LEU:HD11	0.46	1.87	16	3
1:A:29:LEU:N	1:A:29:LEU:CD2	0.46	2.79	5	5
1:A:34:THR:HG23	1:A:35:GLN:HE21	0.46	1.69	12	1
1:A:103:LEU:N	1:A:103:LEU:CD2	0.46	2.72	22	1
1:A:103:LEU:HD23	1:A:103:LEU:H	0.46	1.69	22	1
1:A:35:GLN:NE2	1:A:35:GLN:CA	0.46	2.78	20	1
1:A:110:LEU:HD12	1:A:120:SER:OG	0.46	2.11	2	2
1:A:122:ILE:CD1	1:A:122:ILE:H	0.46	2.24	7	3
1:A:17:PHE:CD1	1:A:17:PHE:N	0.46	2.79	14	3
1:A:46:ASN:O	1:A:49:PHE:N	0.46	2.47	12	3
1:A:37:GLY:O	1:A:39:TRP:CZ2	0.46	2.69	19	1
1:A:102:PHE:CD2	1:A:102:PHE:N	0.46	2.81	5	3
1:A:72:LEU:C	1:A:73:TYR:CD2	0.46	2.89	20	1
1:A:75:LEU:HD12	1:A:75:LEU:C	0.46	2.31	1	2
1:A:128:VAL:HG22	1:A:129:ILE:N	0.46	2.25	11	5
1:A:107:ASN:O	1:A:108:ASP:OD2	0.46	2.34	6	2
1:A:32:LEU:C	1:A:34:THR:H	0.46	2.14	20	1
1:A:37:GLY:O	1:A:39:TRP:CE2	0.46	2.69	19	4
1:A:112:VAL:O	1:A:113:ASN:C	0.46	2.53	2	3
1:A:115:LEU:HD12	1:A:116:LYS:C	0.46	2.31	7	4
1:A:89:VAL:O	1:A:89:VAL:HG23	0.45	2.10	16	1
1:A:126:ASN:N	1:A:126:ASN:HD22	0.45	2.06	17	1
1:A:29:LEU:O	1:A:32:LEU:N	0.45	2.46	18	2
1:A:37:GLY:N	1:A:126:ASN:OD1	0.45	2.49	23	2
1:A:29:LEU:CD1	1:A:32:LEU:HD22	0.45	2.41	2	1
1:A:32:LEU:HD23	1:A:32:LEU:N	0.45	2.27	4	1
1:A:34:THR:O	1:A:35:GLN:C	0.45	2.55	20	1
1:A:91:ASN:N	1:A:103:LEU:O	0.45	2.50	20	2
1:A:80:PHE:O	1:A:80:PHE:CD1	0.45	2.69	21	2
1:A:71:ILE:HG22	1:A:72:LEU:N	0.45	2.27	23	1
1:A:7:LEU:HD12	1:A:7:LEU:N	0.45	2.25	20	1
1:A:72:LEU:O	1:A:74:HIS:N	0.45	2.49	9	1
1:A:46:ASN:C	1:A:48:ALA:N	0.45	2.69	12	5

Continued on next page...

Continued from previous page...

Atom-1	Atom-2	Clash(Å)	Distance(Å)	Models	
				Worst	Total
1:A:115:LEU:C	1:A:115:LEU:CD1	0.45	2.85	23	9
1:A:37:GLY:C	1:A:39:TRP:NE1	0.45	2.70	5	2
1:A:10:LYS:O	1:A:14:ASP:N	0.44	2.50	18	4
1:A:25:GLU:OE2	1:A:26:ALA:N	0.44	2.51	7	1
1:A:121:ASP:O	1:A:123:MET:N	0.44	2.50	11	1
1:A:69:ASN:ND2	1:A:70:ILE:HD12	0.44	2.27	3	1
1:A:9:GLU:O	1:A:13:GLN:N	0.44	2.50	11	1
1:A:43:VAL:CG1	1:A:131:VAL:HG22	0.44	2.43	13	1
1:A:124:THR:OG1	1:A:127:GLY:O	0.44	2.34	2	4
1:A:123:MET:SD	1:A:128:VAL:HG23	0.44	2.53	22	1
1:A:113:ASN:O	1:A:113:ASN:ND2	0.44	2.51	3	1
1:A:106:VAL:CG1	1:A:107:ASN:HD22	0.44	2.25	1	1
1:A:122:ILE:N	1:A:122:ILE:HD13	0.44	2.27	13	5
1:A:121:ASP:O	1:A:122:ILE:O	0.44	2.36	10	2
1:A:121:ASP:OD2	1:A:121:ASP:C	0.44	2.56	7	1
1:A:114:GLU:O	1:A:115:LEU:CB	0.44	2.65	1	1
1:A:124:THR:OG1	1:A:127:GLY:N	0.44	2.49	5	1
1:A:20:PHE:CD1	1:A:73:TYR:CZ	0.44	3.05	14	1
1:A:34:THR:HG23	1:A:35:GLN:NE2	0.44	2.28	15	1
1:A:20:PHE:CE2	1:A:73:TYR:CE1	0.44	3.06	23	2
1:A:91:ASN:OD1	1:A:103:LEU:O	0.44	2.35	1	5
1:A:106:VAL:O	1:A:107:ASN:C	0.44	2.56	2	1
1:A:41:LEU:O	1:A:41:LEU:HD13	0.44	2.13	3	1
1:A:31:GLU:O	1:A:35:GLN:OE1	0.44	2.35	16	1
1:A:112:VAL:CG2	1:A:113:ASN:N	0.43	2.80	1	1
1:A:53:THR:O	1:A:56:GLU:N	0.43	2.50	3	1
1:A:69:ASN:OD1	1:A:97:GLN:OE1	0.43	2.35	3	1
1:A:121:ASP:C	1:A:123:MET:N	0.43	2.71	11	1
1:A:35:GLN:O	1:A:126:ASN:OD1	0.43	2.36	13	1
1:A:115:LEU:HD12	1:A:116:LYS:O	0.43	2.13	16	1
1:A:130:HIS:NE2	1:A:132:VAL:CG1	0.43	2.81	19	1
1:A:108:ASP:O	1:A:108:ASP:CG	0.43	2.57	20	2
1:A:97:GLN:OE1	1:A:99:SER:CB	0.43	2.66	12	1
1:A:80:PHE:CD1	1:A:80:PHE:C	0.43	2.90	20	1
1:A:68:GLN:NE2	1:A:71:ILE:HG21	0.43	2.28	23	1
1:A:80:PHE:CD2	1:A:80:PHE:C	0.43	2.88	23	3
1:A:74:HIS:CE1	1:A:97:GLN:HE22	0.43	2.31	2	1
1:A:39:TRP:CD1	1:A:39:TRP:N	0.43	2.87	20	2
1:A:80:PHE:CZ	1:A:110:LEU:CD1	0.43	3.01	23	1
1:A:69:ASN:HD21	1:A:70:ILE:HD12	0.43	1.74	3	1
1:A:72:LEU:O	1:A:73:TYR:C	0.43	2.56	9	5

Continued on next page...

Continued from previous page...

Atom-1	Atom-2	Clash(Å)	Distance(Å)	Models	
				Worst	Total
1:A:72:LEU:C	1:A:73:TYR:CG	0.43	2.91	19	2
1:A:34:THR:HG23	1:A:35:GLN:OE1	0.43	2.13	22	1
1:A:5:LYS:O	1:A:125:THR:HG23	0.43	2.13	7	1
1:A:46:ASN:O	1:A:48:ALA:N	0.43	2.52	12	1
1:A:125:THR:C	1:A:126:ASN:HD22	0.43	2.16	12	1
1:A:121:ASP:O	1:A:121:ASP:OD2	0.43	2.36	1	1
1:A:115:LEU:HD13	1:A:115:LEU:C	0.43	2.34	4	2
1:A:7:LEU:HD21	1:A:41:LEU:HD21	0.43	1.91	1	1
1:A:112:VAL:HG22	1:A:113:ASN:N	0.43	2.29	1	1
1:A:22:SER:OG	1:A:23:LEU:N	0.43	2.52	15	1
1:A:45:THR:OG1	1:A:47:ASP:OD1	0.43	2.33	19	1
1:A:38:ASP:O	1:A:39:TRP:CD2	0.43	2.72	7	1
1:A:110:LEU:O	1:A:117:SER:OG	0.43	2.37	19	1
1:A:14:ASP:CG	1:A:16:ARG:HE	0.42	2.18	23	1
1:A:70:ILE:O	1:A:73:TYR:CD1	0.42	2.72	23	2
1:A:69:ASN:CG	1:A:70:ILE:N	0.42	2.71	16	3
1:A:35:GLN:N	1:A:35:GLN:NE2	0.42	2.66	20	1
1:A:17:PHE:O	1:A:18:SER:C	0.42	2.58	8	2
1:A:45:THR:O	1:A:48:ALA:HB3	0.42	2.15	9	1
1:A:49:PHE:O	1:A:49:PHE:CD1	0.42	2.72	11	1
1:A:88:GLY:O	1:A:104:LYS:CE	0.42	2.67	18	1
1:A:19:THR:HG22	1:A:23:LEU:CD2	0.42	2.45	1	1
1:A:27:ALA:O	1:A:28:ASP:OD1	0.42	2.38	12	1
1:A:7:LEU:HD23	1:A:124:THR:HG21	0.42	1.92	13	1
1:A:71:ILE:CG2	1:A:72:LEU:N	0.42	2.82	23	1
1:A:43:VAL:HG13	1:A:43:VAL:O	0.42	2.14	1	4
1:A:58:GLU:O	1:A:62:ARG:CG	0.42	2.68	7	1
1:A:24:LEU:HG	1:A:25:GLU:N	0.42	2.29	12	2
1:A:21:LEU:O	1:A:25:GLU:CB	0.42	2.68	3	2
1:A:31:GLU:O	1:A:35:GLN:CD	0.42	2.58	5	1
1:A:69:ASN:O	1:A:97:GLN:OE1	0.42	2.38	9	1
1:A:91:ASN:ND2	1:A:91:ASN:N	0.42	2.66	11	1
1:A:76:THR:HG22	1:A:76:THR:O	0.42	2.14	5	1
1:A:23:LEU:CD1	1:A:24:LEU:N	0.42	2.81	7	1
1:A:30:LYS:CA	1:A:33:LEU:HD22	0.42	2.44	12	1
1:A:89:VAL:O	1:A:89:VAL:CG2	0.42	2.68	16	1
1:A:43:VAL:O	1:A:43:VAL:HG22	0.41	2.15	6	1
1:A:46:ASN:ND2	1:A:46:ASN:C	0.41	2.73	9	1
1:A:8:HIS:CG	1:A:9:GLU:N	0.41	2.87	10	1
1:A:40:THR:HG23	1:A:128:VAL:CG1	0.41	2.45	13	1
1:A:47:ASP:O	1:A:47:ASP:OD2	0.41	2.38	14	1

Continued on next page...

Continued from previous page...

Atom-1	Atom-2	Clash(Å)	Distance(Å)	Models	
				Worst	Total
1:A:109:THR:HG21	1:A:116:LYS:NZ	0.41	2.29	15	1
1:A:110:LEU:HD13	1:A:130:HIS:HD1	0.41	1.72	19	1
1:A:108:ASP:O	1:A:108:ASP:OD2	0.41	2.38	2	1
1:A:14:ASP:OD1	1:A:16:ARG:CZ	0.41	2.69	4	1
1:A:92:ILE:C	1:A:93:LEU:HD13	0.41	2.35	10	1
1:A:97:GLN:OE1	1:A:99:SER:OG	0.41	2.37	12	1
1:A:97:GLN:OE1	1:A:97:GLN:O	0.41	2.37	19	1
1:A:102:PHE:C	1:A:103:LEU:HD22	0.41	2.35	14	1
1:A:41:LEU:CD1	1:A:43:VAL:HG12	0.41	2.46	21	1
1:A:124:THR:HG1	1:A:127:GLY:C	0.41	2.18	10	1
1:A:66:ALA:HA	1:A:69:ASN:ND2	0.41	2.30	5	1
1:A:32:LEU:N	1:A:32:LEU:HD23	0.41	2.31	6	2
1:A:29:LEU:HD12	1:A:32:LEU:HD22	0.41	1.91	2	1
1:A:110:LEU:C	1:A:110:LEU:CD2	0.41	2.89	9	1
1:A:110:LEU:CD1	1:A:130:HIS:CE1	0.41	3.02	9	2
1:A:57:LYS:NZ	1:A:57:LYS:CB	0.41	2.83	8	1
1:A:73:TYR:O	1:A:74:HIS:CG	0.41	2.74	8	1
1:A:73:TYR:C	1:A:74:HIS:HD1	0.41	2.19	9	1
1:A:28:ASP:C	1:A:29:LEU:HD22	0.41	2.36	14	1
1:A:46:ASN:CG	1:A:47:ASP:N	0.41	2.74	3	1
1:A:69:ASN:OD1	1:A:69:ASN:C	0.41	2.59	11	1
1:A:107:ASN:N	1:A:107:ASN:ND2	0.41	2.69	20	1
1:A:8:HIS:O	1:A:11:LEU:N	0.41	2.54	14	1
1:A:107:ASN:O	1:A:108:ASP:CG	0.40	2.59	2	1
1:A:107:ASN:O	1:A:107:ASN:CG	0.40	2.60	8	1
1:A:107:ASN:O	1:A:107:ASN:OD1	0.40	2.38	8	1
1:A:93:LEU:HD11	1:A:101:ILE:HG23	0.40	1.93	21	2
1:A:34:THR:O	1:A:126:ASN:OD1	0.40	2.39	20	1
1:A:110:LEU:CD1	1:A:120:SER:OG	0.40	2.69	2	1
1:A:113:ASN:OD1	1:A:136:LEU:CD2	0.40	2.70	5	1
1:A:49:PHE:CD2	1:A:49:PHE:C	0.40	2.90	7	1
1:A:108:ASP:O	1:A:108:ASP:OD1	0.40	2.38	20	1
1:A:114:GLU:O	1:A:115:LEU:HB3	0.40	2.15	1	1
1:A:65:ASN:O	1:A:69:ASN:CG	0.40	2.60	18	2
1:A:65:ASN:O	1:A:69:ASN:OD1	0.40	2.39	14	1
1:A:101:ILE:O	1:A:101:ILE:CG2	0.40	2.69	22	1
1:A:28:ASP:OD1	1:A:30:LYS:NZ	0.40	2.46	4	1
1:A:122:ILE:H	1:A:122:ILE:CD1	0.40	2.29	5	1
1:A:97:GLN:HE21	1:A:97:GLN:C	0.40	2.20	16	1
1:A:64:LYS:O	1:A:68:GLN:HB2	0.40	2.17	7	1
1:A:97:GLN:OE1	1:A:97:GLN:C	0.40	2.60	14	1

Continued on next page...

Continued from previous page...

Atom-1	Atom-2	Clash(Å)	Distance(Å)	Models	
				Worst	Total
1:A:20:PHE:CD1	1:A:73:TYR:CE2	0.40	3.10	17	1

6.3 Torsion angles (i)

6.3.1 Protein backbone (i)

In the following table, the Percentiles column shows the percent Ramachandran outliers of the chain as a percentile score with respect to all PDB entries followed by that with respect to all NMR entries. The Analysed column shows the number of residues for which the backbone conformation was analysed and the total number of residues.

Mol	Chain	Analysed	Favoured	Allowed	Outliers	Percentiles	
1	A	123/140 (88%)	109±2 (89±2%)	10±3 (8±2%)	3±2 (3±1%)	8	44
All	All	2829/3220 (88%)	2515 (89%)	240 (8%)	74 (3%)	8	44

All 15 unique Ramachandran outliers are listed below. They are sorted by the frequency of occurrence in the ensemble.

Mol	Chain	Res	Type	Models (Total)
1	A	78	GLY	13
1	A	113	ASN	11
1	A	114	GLU	9
1	A	123	MET	9
1	A	5	LYS	7
1	A	28	ASP	5
1	A	72	LEU	5
1	A	36	PRO	4
1	A	136	LEU	3
1	A	73	TYR	2
1	A	122	ILE	2
1	A	115	LEU	1
1	A	37	GLY	1
1	A	33	LEU	1
1	A	35	GLN	1

6.3.2 Protein sidechains (i)

In the following table, the Percentiles column shows the percent sidechain outliers of the chain as a percentile score with respect to all PDB entries followed by that with respect to all NMR entries. The Analysed column shows the number of residues for which the sidechain conformation

was analysed and the total number of residues.

Mol	Chain	Analysed	Rotameric	Outliers	Percentiles
1	A	114/125 (91%)	78±3 (68±3%)	36±3 (32±3%)	1 14
All	All	2622/2875 (91%)	1790 (68%)	832 (32%)	1 14

All 94 unique residues with a non-rotameric sidechain are listed below. They are sorted by the frequency of occurrence in the ensemble.

Mol	Chain	Res	Type	Models (Total)
1	A	21	LEU	23
1	A	24	LEU	23
1	A	30	LYS	23
1	A	38	ASP	23
1	A	67	LEU	23
1	A	68	GLN	23
1	A	76	THR	23
1	A	33	LEU	21
1	A	102	PHE	21
1	A	110	LEU	20
1	A	63	ASP	19
1	A	123	MET	19
1	A	80	PHE	18
1	A	90	THR	18
1	A	96	THR	18
1	A	112	VAL	18
1	A	6	SER	17
1	A	49	PHE	16
1	A	54	SER	16
1	A	14	ASP	16
1	A	46	ASN	16
1	A	39	TRP	15
1	A	69	ASN	15
1	A	22	SER	14
1	A	65	ASN	13
1	A	91	ASN	13
1	A	108	ASP	13
1	A	121	ASP	12
1	A	115	LEU	12
1	A	126	ASN	11
1	A	47	ASP	11
1	A	100	LYS	11
1	A	122	ILE	10
1	A	45	THR	10

Continued on next page...

Continued from previous page...

Mol	Chain	Res	Type	Models (Total)
1	A	18	SER	9
1	A	128	VAL	9
1	A	71	ILE	9
1	A	64	LYS	8
1	A	28	ASP	8
1	A	9	GLU	8
1	A	35	GLN	7
1	A	97	GLN	7
1	A	113	ASN	7
1	A	119	GLU	7
1	A	134	LYS	7
1	A	89	VAL	7
1	A	94	LYS	7
1	A	16	ARG	7
1	A	7	LEU	6
1	A	74	HIS	6
1	A	99	SER	6
1	A	13	GLN	6
1	A	56	GLU	6
1	A	117	SER	6
1	A	116	LYS	6
1	A	15	LYS	5
1	A	81	ILE	5
1	A	129	ILE	5
1	A	25	GLU	5
1	A	8	HIS	5
1	A	43	VAL	5
1	A	125	THR	5
1	A	62	ARG	5
1	A	93	LEU	5
1	A	10	LYS	4
1	A	41	LEU	4
1	A	133	ASP	4
1	A	114	GLU	4
1	A	20	PHE	3
1	A	34	THR	3
1	A	40	THR	3
1	A	5	LYS	3
1	A	118	LYS	3
1	A	105	GLU	3
1	A	75	LEU	2
1	A	32	LEU	2

Continued on next page...

Continued from previous page...

Mol	Chain	Res	Type	Models (Total)
1	A	107	ASN	2
1	A	124	THR	2
1	A	31	GLU	2
1	A	95	THR	2
1	A	58	GLU	2
1	A	60	LEU	2
1	A	55	GLU	2
1	A	23	LEU	2
1	A	42	PHE	1
1	A	53	THR	1
1	A	29	LEU	1
1	A	57	LYS	1
1	A	120	SER	1
1	A	135	LEU	1
1	A	111	LEU	1
1	A	72	LEU	1
1	A	73	TYR	1
1	A	104	LYS	1

6.3.3 RNA (i)

There are no RNA molecules in this entry.

6.4 Non-standard residues in protein, DNA, RNA chains (i)

There are no non-standard protein/DNA/RNA residues in this entry.

6.5 Carbohydrates (i)

There are no monosaccharides in this entry.

6.6 Ligand geometry (i)

There are no ligands in this entry.

6.7 Other polymers (i)

There are no such molecules in this entry.

6.8 Polymer linkage issues (i)

There are no chain breaks in this entry.

7 Chemical shift validation (i)

The completeness of assignment taking into account all chemical shift lists is 92% for the well-defined parts and 91% for the entire structure.

7.1 Chemical shift list 1

File name: working_cs.cif

Chemical shift list name: *assigned_chem_shift_list_0*

7.1.1 Bookkeeping (i)

The following table shows the results of parsing the chemical shift list and reports the number of nuclei with statistically unusual chemical shifts.

Total number of shifts	1778
Number of shifts mapped to atoms	1778
Number of unparsed shifts	0
Number of shifts with mapping errors	0
Number of shifts with mapping warnings	0
Number of shift outliers (ShiftChecker)	0

7.1.2 Chemical shift referencing (i)

The following table shows the suggested chemical shift referencing corrections.

Nucleus	# values	Correction ± precision, *ppm*	Suggested action
$^{13}C_{\alpha}$	136	-0.37 ± 0.18	None needed (< 0.5 ppm)
$^{13}C_{\beta}$	129	-0.06 ± 0.11	None needed (< 0.5 ppm)
$^{13}C'$	129	0.09 ± 0.11	None needed (< 0.5 ppm)
^{15}N	135	0.07 ± 0.36	None needed (< 0.5 ppm)

7.1.3 Completeness of resonance assignments (i)

The following table shows the completeness of the chemical shift assignments for the well-defined regions of the structure. The overall completeness is 92%, i.e. 1607 atoms were assigned a chemical shift out of a possible 1744. 0 out of 28 assigned methyl groups (LEU and VAL) were assigned stereospecifically.

	Total	^{1}H	^{13}C	^{15}N
Backbone	601/614 (98%)	245/248 (99%)	238/246 (97%)	118/120 (98%)
Sidechain	956/1025 (93%)	652/668 (98%)	294/327 (90%)	10/30 (33%)

Continued on next page...

Continued from previous page...

	Total	^{1}H	^{13}C	^{15}N
Aromatic	50/105 (48%)	42/52 (81%)	6/46 (13%)	2/7 (29%)
Overall	1607/1744 (92%)	939/968 (97%)	538/619 (87%)	130/157 (83%)

The following table shows the completeness of the chemical shift assignments for the full structure. The overall completeness is 91%, i.e. 1773 atoms were assigned a chemical shift out of a possible 1944. 0 out of 28 assigned methyl groups (LEU and VAL) were assigned stereospecifically.

	Total	^{1}H	^{13}C	^{15}N
Backbone	668/699 (96%)	273/284 (96%)	265/280 (95%)	130/135 (96%)
Sidechain	1043/1121 (93%)	711/730 (97%)	322/359 (90%)	10/32 (31%)
Aromatic	62/124 (50%)	50/61 (82%)	10/56 (18%)	2/7 (29%)
Overall	1773/1944 (91%)	1034/1075 (96%)	597/695 (86%)	142/174 (82%)

7.1.4 Statistically unusual chemical shifts (i)

There are no statistically unusual chemical shifts.

7.1.5 Random Coil Index (RCI) plots (i)

The image below reports *random coil index* values for the protein chains in the structure. The height of each bar gives a probability of a given residue to be disordered, as predicted from the available chemical shifts and the amino acid sequence. A value above 0.2 is an indication of significant predicted disorder. The colour of the bar shows whether the residue is in the well-defined core (black) or in the ill-defined residue ranges (cyan), as described in section 2 on ensemble composition.If well-defined core and ill-defined regions are not identified then it is shown as gray bars.

Random coil index (RCI) for chain A:

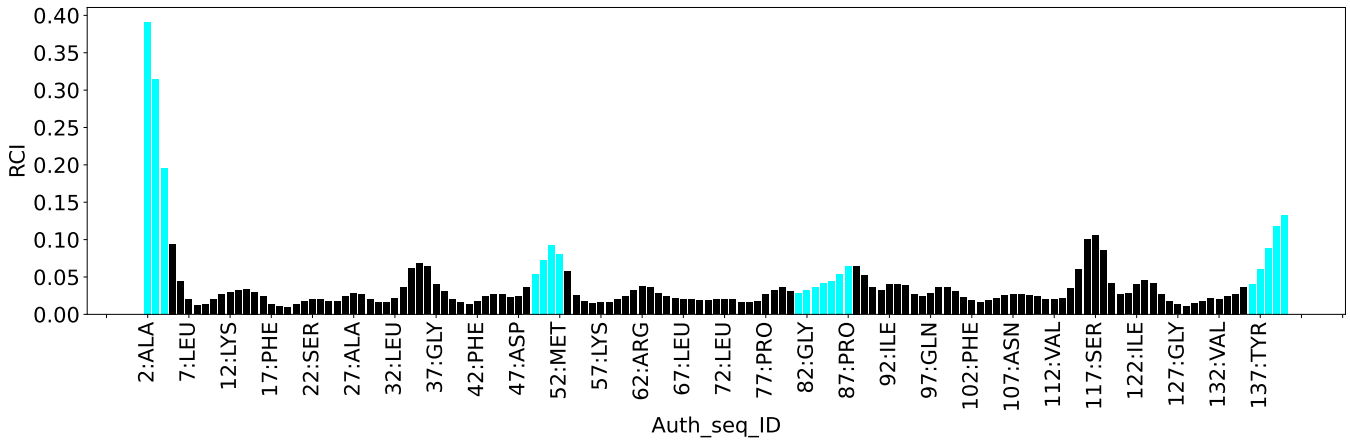

8 NMR restraints analysis (i)

8.1 Conformationally restricting restraints (i)

The following table provides the summary of experimentally observed NMR restraints in different categories. Restraints are classified into different categories based on the sequence separation of the atoms involved.

Description	Value
Total distance restraints	0
Intra-residue (|i-j|=0)	0
Sequential (|i-j|=1)	0
Medium range (|i-j|>1 and |i-j|<5)	0
Long range (|i-j|≥5)	0
Inter-chain	0
Hydrogen bond restraints	0
Disulfide bond restraints	0
Total dihedral-angle restraints	196
Number of unmapped restraints	0
Number of restraints per residue	0
Number of long range restraints per residue[1]	0

[1]Long range hydrogen bonds and disulfide bonds are counted as long range restraints while calculating the number of long range restraints per residue

8.2 Residual restraint violations (i)

This section provides the overview of the restraint violations analysis. The violations are binned as small, medium and large violations based on its absolute value. Average number of violations per model is calculated by dividing the total number of violations in each bin by the size of the ensemble.

8.2.1 Average number of distance violations per model (i)

Distance violations less than 0.1 Å are not included in the calculation.There are no distance restraints

8.2.2 Average number of dihedral-angle violations per model (i)

Dihedral-angle violations less than 1° are not included in the calculation.

Bins (°)	Average number of violations per model	Max (°)
1.0-10.0 (Small)	11.7	8.2

Continued on next page...

Continued from previous page...

Bins (°)	Average number of violations per model	Max (°)
10.0-20.0 (Medium)	0.0	14.7
>20.0 (Large)	0.0	20.7

9 Distance violation analysis (i)

No distance restraints data found

10 Dihedral-angle violation analysis (i)

10.1 Summary of dihedral-angle violations (i)

The following table provides the summary of dihedral-angle violations in different dihedral-angle types. Violations less than 1° are not included in the calculation.

Angle type	Count	%[1]	Violated[3]			Consistently Violated[4]		
			Count	%[2]	%[1]	Count	%[2]	%[1]
PHI	98	50.0	31	31.6	15.8	0	0.0	0.0
PSI	98	50.0	39	39.8	19.9	1	1.0	0.5
Total	196	100.0	70	35.7	35.7	1	0.5	0.5

[1] percentage calculated with respect to total number of dihedral-angle restraints, [2] percentage calculated with respect to number of restraints in a particular dihedral-angle type, [3] violated in at least one model, [4] violated in all the models

10.1.1 Bar chart : Distribution of dihedral-angles and violations (i)

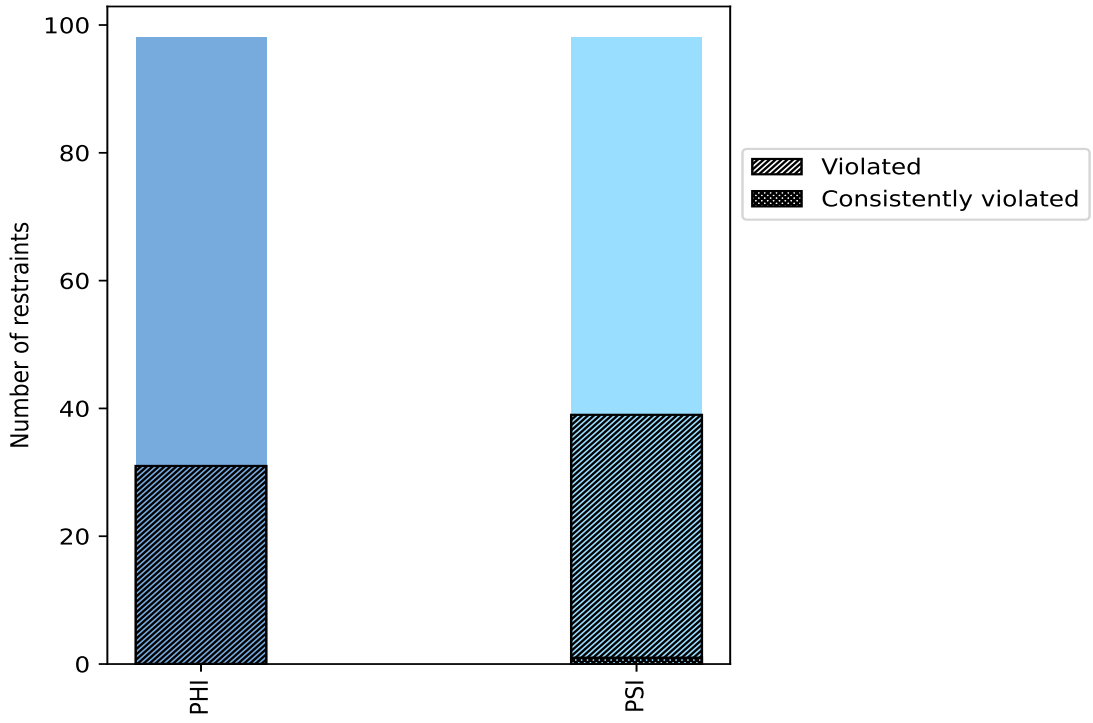

Violated and consistently violated restraints are shown using different hatch patterns in their respective categories

10.2 Dihedral-angle violation statistics for each model (i)

The following table provides the dihedral-angle violation statistics for each model in the ensemble. Violations less than 1° are not included in the statistics.

Model ID	Number of violations			Mean (°)	Max (°)	SD (°)	Median (°)
	PHI	PSI	Total				
1	4	5	9	2.32	4.1	0.98	1.9
2	4	6	10	2.55	3.7	0.71	2.65
3	5	3	8	2.54	4.6	1.11	2.6
4	5	7	12	1.86	2.9	0.56	1.85
5	5	6	11	2.55	4.0	1.05	2.4
6	2	5	7	2.5	3.6	0.77	2.5
7	6	9	15	2.94	8.2	1.86	2.4
8	6	8	14	2.53	4.1	1.0	2.75
9	7	10	17	2.46	5.5	1.42	1.8
10	3	5	8	2.85	5.1	1.12	2.8
11	6	5	11	2.7	4.2	1.03	2.6
12	7	7	14	2.96	5.2	1.02	3.15
13	4	7	11	2.67	3.7	0.92	3.0
14	5	11	16	2.97	6.1	1.63	2.35
15	2	6	8	3.71	7.3	1.98	2.7
16	2	4	6	2.53	3.6	0.88	2.9
17	3	9	12	3.22	5.3	1.2	3.25
18	6	6	12	5.29	20.7	5.78	3.0
19	5	8	13	2.37	4.9	0.97	2.1
20	6	7	13	2.52	5.6	1.24	2.1
21	7	12	19	2.23	4.2	0.97	1.8
22	6	9	15	2.44	4.1	1.0	2.3
23	3	6	9	2.44	4.3	1.09	2.8

10.2.1 Bar graph : Dihedral violation statistics for each model (i)

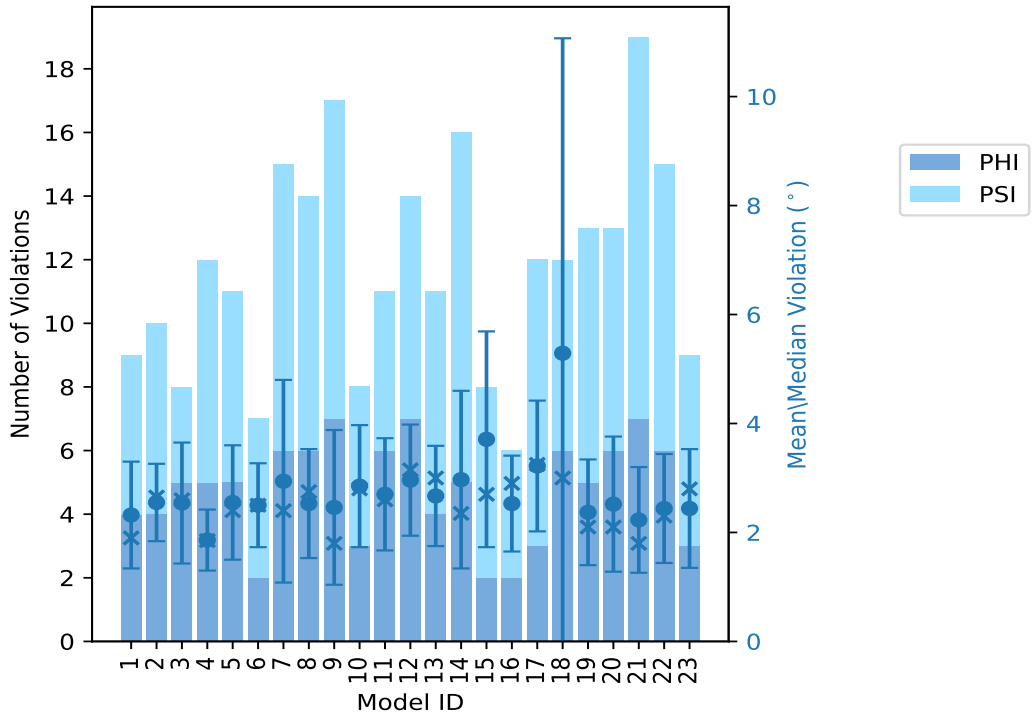

The mean(dot),median(x) and the standard deviation are shown in blue with respect to the y axis on the right

10.3 Dihedral-angle violation statistics for the ensemble (i)

Violation analysis may find that some restraints are violated in very few models and some are violated in most of models. The following table provides this information as number of violated restraints for a given fraction of ensemble.

Number of violated restraints			Fraction of the ensemble	
PHI	PSI	Total	Count[1]	%
14	21	35	1	4.3
3	4	7	2	8.7
2	0	2	3	13.0
2	2	4	4	17.4
4	5	9	5	21.7
2	0	2	6	26.1
2	1	3	7	30.4
0	0	0	8	34.8
1	1	2	9	39.1
0	0	0	10	43.5
0	0	0	11	47.8

Continued on next page...

Continued from previous page...

Number of violated restraints			Fraction of the ensemble	
PHI	PSI	Total	Count[1]	%
0	0	0	12	52.2
0	1	1	13	56.5
0	0	0	14	60.9
0	2	2	15	65.2
0	0	0	16	69.6
0	1	1	17	73.9
0	0	0	18	78.3
0	0	0	19	82.6
1	0	1	20	87.0
0	0	0	21	91.3
0	0	0	22	95.7
0	1	1	23	100.0

[1] Number of models with violations

10.3.1 Bar graph : Dihedral-angle Violation statistics for the ensemble (i)

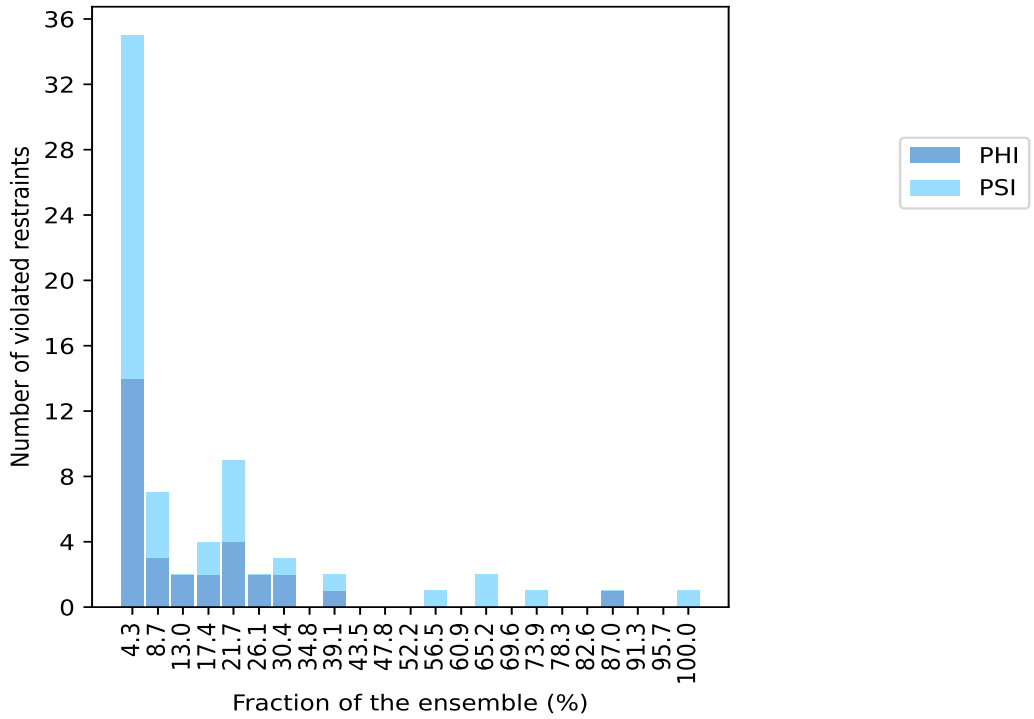

10.4 Most violated dihedral-angle restraints in the ensemble (i)

10.4.1 Histogram : Distribution of mean dihedral-angle violations (i)

The following histogram shows the distribution of the average value of the violation. The average is calculated for each restraint that is violated in more than one model over all the violated models in the ensemble

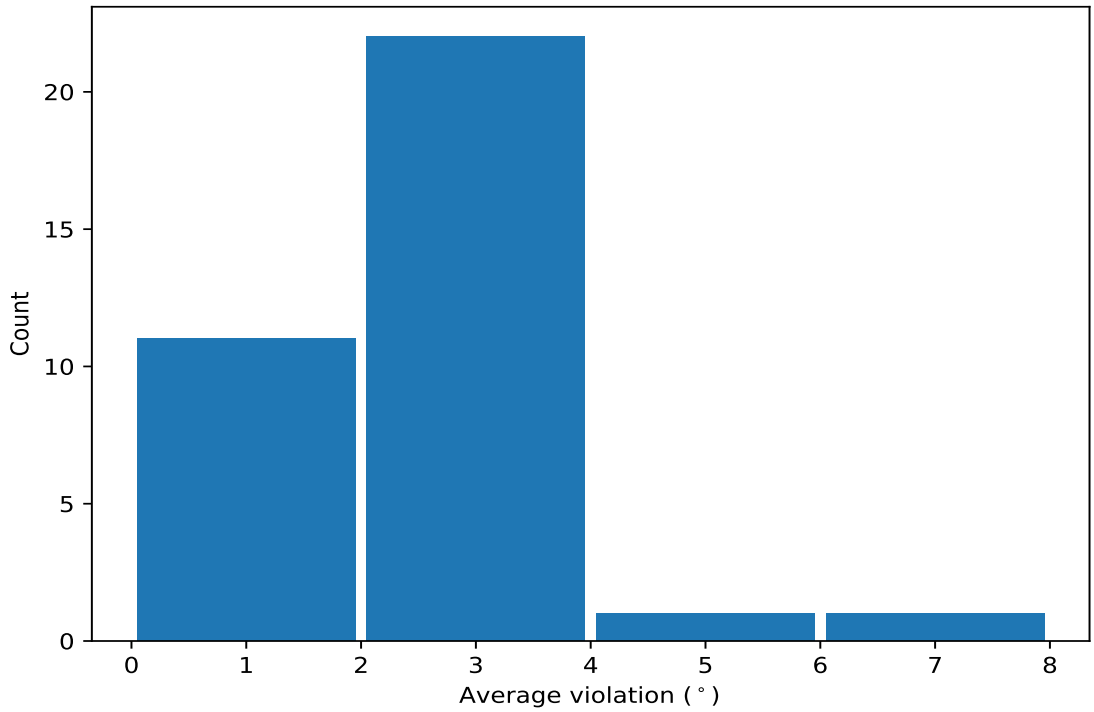

10.4.2 Table: Most violated dihedral-angle restraints (i)

The following table provides the mean and the standard deviation of the violation for each restraint sorted by number of violated models and the mean value. The Key (restraint list ID, restraint ID) is the unique identifier for a given restraint.

Key	Atom-1	Atom-2	Atom-3	Atom-4	Models[1]	Mean	SD[2]	Median
(1,100)	1:A:66:ALA:N	1:A:66:ALA:CA	1:A:66:ALA:C	1:A:67:LEU:N	23	3.16	0.8	3.2
(1,139)	1:A:96:THR:C	1:A:97:GLN:N	1:A:97:GLN:CA	1:A:97:GLN:C	20	2.81	0.67	2.85
(1,46)	1:A:31:GLU:N	1:A:31:GLU:CA	1:A:31:GLU:C	1:A:32:LEU:N	17	3.26	1.25	3.0
(1,54)	1:A:38:ASP:N	1:A:38:ASP:CA	1:A:38:ASP:C	1:A:39:TRP:N	15	5.17	4.59	3.6
(1,4)	1:A:7:LEU:N	1:A:7:LEU:CA	1:A:7:LEU:C	1:A:8:HIS:N	15	2.42	0.82	2.7
(1,186)	1:A:130:HIS:N	1:A:130:HIS:CA	1:A:130:HIS:C	1:A:131:VAL:N	13	2.28	1.06	1.7
(1,48)	1:A:32:LEU:N	1:A:32:LEU:CA	1:A:32:LEU:C	1:A:33:LEU:N	9	3.34	1.16	3.3
(1,67)	1:A:47:ASP:C	1:A:48:ALA:N	1:A:48:ALA:CA	1:A:48:ALA:C	9	2.47	0.93	2.5
(1,115)	1:A:78:GLY:C	1:A:79:VAL:N	1:A:79:VAL:CA	1:A:79:VAL:C	7	2.47	0.76	2.3
(1,91)	1:A:61:ILE:C	1:A:62:ARG:N	1:A:62:ARG:CA	1:A:62:ARG:C	7	2.23	0.78	2.1
(1,124)	1:A:86:GLU:N	1:A:86:GLU:CA	1:A:86:GLU:C	1:A:87:PRO:N	7	1.93	0.56	2.0
(1,165)	1:A:111:LEU:C	1:A:112:VAL:N	1:A:112:VAL:CA	1:A:112:VAL:C	6	2.57	0.8	2.65
(1,145)	1:A:101:ILE:C	1:A:102:PHE:N	1:A:102:PHE:CA	1:A:102:PHE:C	6	2.33	0.93	2.2

Continued on next page...

Continued from previous page...

Key	Atom-1	Atom-2	Atom-3	Atom-4	Models[1]	Mean	SD[2]	Median
(1,134)	1:A:93:LEU:N	1:A:93:LEU:CA	1:A:93:LEU:C	1:A:94:LYS:N	5	3.96	1.09	4.2
(1,71)	1:A:49:PHE:C	1:A:50:LYS:N	1:A:50:LYS:CA	1:A:50:LYS:C	5	3.2	0.86	3.2
(1,56)	1:A:39:TRP:N	1:A:39:TRP:CA	1:A:39:TRP:C	1:A:40:THR:N	5	3.18	1.68	4.0
(1,120)	1:A:81:ILE:N	1:A:81:ILE:CA	1:A:81:ILE:C	1:A:82:GLY:N	5	3.0	1.92	1.6
(1,133)	1:A:92:ILE:C	1:A:93:LEU:N	1:A:93:LEU:CA	1:A:93:LEU:C	5	2.86	0.59	2.6
(1,190)	1:A:132:VAL:N	1:A:132:VAL:CA	1:A:132:VAL:C	1:A:133:ASP:N	5	1.92	0.44	1.8
(1,191)	1:A:133:ASP:C	1:A:134:LYS:N	1:A:134:LYS:CA	1:A:134:LYS:C	5	1.84	0.82	1.5
(1,44)	1:A:29:LEU:N	1:A:29:LEU:CA	1:A:29:LEU:C	1:A:30:LYS:N	5	1.68	0.35	1.6
(1,69)	1:A:48:ALA:C	1:A:49:PHE:N	1:A:49:PHE:CA	1:A:49:PHE:C	5	1.6	0.43	1.5
(1,122)	1:A:85:PHE:N	1:A:85:PHE:CA	1:A:85:PHE:C	1:A:86:GLU:N	4	2.45	1.07	2.15
(1,45)	1:A:30:LYS:C	1:A:31:GLU:N	1:A:31:GLU:CA	1:A:31:GLU:C	4	2.38	1.23	2.4
(1,177)	1:A:124:THR:C	1:A:125:THR:N	1:A:125:THR:CA	1:A:125:THR:C	4	2.38	0.83	2.35
(1,72)	1:A:50:LYS:N	1:A:50:LYS:CA	1:A:50:LYS:C	1:A:51:GLY:N	4	1.92	0.74	1.8
(1,55)	1:A:38:ASP:C	1:A:39:TRP:N	1:A:39:TRP:CA	1:A:39:TRP:C	3	7.27	5.6	5.9
(1,53)	1:A:37:GLY:C	1:A:38:ASP:N	1:A:38:ASP:CA	1:A:38:ASP:C	3	2.47	0.94	2.5
(1,47)	1:A:31:GLU:C	1:A:32:LEU:N	1:A:32:LEU:CA	1:A:32:LEU:C	2	3.05	0.75	3.05
(1,66)	1:A:47:ASP:N	1:A:47:ASP:CA	1:A:47:ASP:C	1:A:48:ALA:N	2	3.05	0.15	3.05
(1,80)	1:A:56:GLU:N	1:A:56:GLU:CA	1:A:56:GLU:C	1:A:57:LYS:N	2	1.95	0.55	1.95
(1,117)	1:A:79:VAL:C	1:A:80:PHE:N	1:A:80:PHE:CA	1:A:80:PHE:C	2	1.85	0.15	1.85
(1,94)	1:A:63:ASP:N	1:A:63:ASP:CA	1:A:63:ASP:C	1:A:64:LYS:N	2	1.5	0.2	1.5
(1,51)	1:A:33:LEU:C	1:A:34:THR:N	1:A:34:THR:CA	1:A:34:THR:C	2	1.4	0.1	1.4
(1,12)	1:A:11:LEU:N	1:A:11:LEU:CA	1:A:11:LEU:C	1:A:12:LYS:N	2	1.1	0.0	1.1

[1] Number of violated models, [2]Standard deviation, All angle values are in degree (°)

10.5 All violated dihedral-angle restraints (i)

10.5.1 Histogram : Distribution of violations (i)

The following histogram shows the distribution of the absolute value of the violation for all violated restraints in the ensemble.

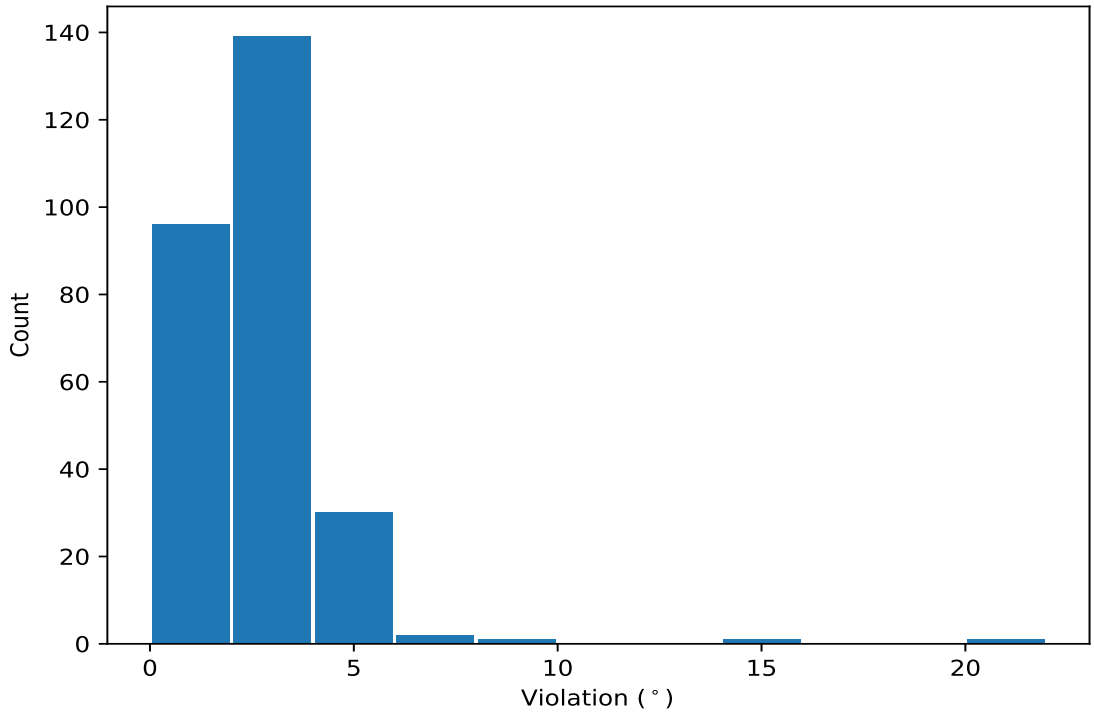

10.5.2 Table: All violated dihedral-angle restraints (i)

The following table lists the absolute value of the violation for each restraint in the ensemble sorted by its value. The Key (restraint list ID, restraint ID) is the unique identifier for a given restraint.

Key	Atom-1	Atom-2	Atom-3	Atom-4	Model ID	Violation (°)
(1,54)	1:A:38:ASP:N	1:A:38:ASP:CA	1:A:38:ASP:C	1:A:39:TRP:N	18	20.7
(1,55)	1:A:38:ASP:C	1:A:39:TRP:N	1:A:39:TRP:CA	1:A:39:TRP:C	18	14.7
(1,54)	1:A:38:ASP:N	1:A:38:ASP:CA	1:A:38:ASP:C	1:A:39:TRP:N	7	8.2
(1,54)	1:A:38:ASP:N	1:A:38:ASP:CA	1:A:38:ASP:C	1:A:39:TRP:N	15	7.3
(1,48)	1:A:32:LEU:N	1:A:32:LEU:CA	1:A:32:LEU:C	1:A:33:LEU:N	14	6.1
(1,55)	1:A:38:ASP:C	1:A:39:TRP:N	1:A:39:TRP:CA	1:A:39:TRP:C	7	5.9
(1,120)	1:A:81:ILE:N	1:A:81:ILE:CA	1:A:81:ILE:C	1:A:82:GLY:N	15	5.9
(1,54)	1:A:38:ASP:N	1:A:38:ASP:CA	1:A:38:ASP:C	1:A:39:TRP:N	20	5.6
(1,7)	1:A:8:HIS:C	1:A:9:GLU:N	1:A:9:GLU:CA	1:A:9:GLU:C	14	5.5
(1,54)	1:A:38:ASP:N	1:A:38:ASP:CA	1:A:38:ASP:C	1:A:39:TRP:N	9	5.5
(1,46)	1:A:31:GLU:N	1:A:31:GLU:CA	1:A:31:GLU:C	1:A:32:LEU:N	17	5.3
(1,54)	1:A:38:ASP:N	1:A:38:ASP:CA	1:A:38:ASP:C	1:A:39:TRP:N	12	5.2
(1,46)	1:A:31:GLU:N	1:A:31:GLU:CA	1:A:31:GLU:C	1:A:32:LEU:N	15	5.2
(1,54)	1:A:38:ASP:N	1:A:38:ASP:CA	1:A:38:ASP:C	1:A:39:TRP:N	10	5.1
(1,46)	1:A:31:GLU:N	1:A:31:GLU:CA	1:A:31:GLU:C	1:A:32:LEU:N	14	5.1
(1,56)	1:A:39:TRP:N	1:A:39:TRP:CA	1:A:39:TRP:C	1:A:40:THR:N	18	4.9
(1,46)	1:A:31:GLU:N	1:A:31:GLU:CA	1:A:31:GLU:C	1:A:32:LEU:N	9	4.9
(1,134)	1:A:93:LEU:N	1:A:93:LEU:CA	1:A:93:LEU:C	1:A:94:LYS:N	19	4.9
(1,134)	1:A:93:LEU:N	1:A:93:LEU:CA	1:A:93:LEU:C	1:A:94:LYS:N	17	4.8
(1,100)	1:A:66:ALA:N	1:A:66:ALA:CA	1:A:66:ALA:C	1:A:67:LEU:N	14	4.8
(1,6)	1:A:8:HIS:N	1:A:8:HIS:CA	1:A:8:HIS:C	1:A:9:GLU:N	14	4.7

Continued on next page...

Continued from previous page...

Key	Atom-1	Atom-2	Atom-3	Atom-4	Model ID	Violation (°)
(1,56)	1:A:39:TRP:N	1:A:39:TRP:CA	1:A:39:TRP:C	1:A:40:THR:N	7	4.7
(1,120)	1:A:81:ILE:N	1:A:81:ILE:CA	1:A:81:ILE:C	1:A:82:GLY:N	9	4.7
(1,60)	1:A:41:LEU:N	1:A:41:LEU:CA	1:A:41:LEU:C	1:A:42:PHE:N	3	4.6
(1,100)	1:A:66:ALA:N	1:A:66:ALA:CA	1:A:66:ALA:C	1:A:67:LEU:N	20	4.6
(1,186)	1:A:130:HIS:N	1:A:130:HIS:CA	1:A:130:HIS:C	1:A:131:VAL:N	18	4.4
(1,139)	1:A:96:THR:C	1:A:97:GLN:N	1:A:97:GLN:CA	1:A:97:GLN:C	23	4.3
(1,71)	1:A:49:PHE:C	1:A:50:LYS:N	1:A:50:LYS:CA	1:A:50:LYS:C	11	4.2
(1,134)	1:A:93:LEU:N	1:A:93:LEU:CA	1:A:93:LEU:C	1:A:94:LYS:N	21	4.2
(1,100)	1:A:66:ALA:N	1:A:66:ALA:CA	1:A:66:ALA:C	1:A:67:LEU:N	17	4.2
(1,71)	1:A:49:PHE:C	1:A:50:LYS:N	1:A:50:LYS:CA	1:A:50:LYS:C	22	4.1
(1,46)	1:A:31:GLU:N	1:A:31:GLU:CA	1:A:31:GLU:C	1:A:32:LEU:N	8	4.1
(1,122)	1:A:85:PHE:N	1:A:85:PHE:CA	1:A:85:PHE:C	1:A:86:GLU:N	1	4.1
(1,56)	1:A:39:TRP:N	1:A:39:TRP:CA	1:A:39:TRP:C	1:A:40:THR:N	5	4.0
(1,134)	1:A:93:LEU:N	1:A:93:LEU:CA	1:A:93:LEU:C	1:A:94:LYS:N	11	4.0
(1,48)	1:A:32:LEU:N	1:A:32:LEU:CA	1:A:32:LEU:C	1:A:33:LEU:N	9	3.9
(1,48)	1:A:32:LEU:N	1:A:32:LEU:CA	1:A:32:LEU:C	1:A:33:LEU:N	22	3.9
(1,133)	1:A:92:ILE:C	1:A:93:LEU:N	1:A:93:LEU:CA	1:A:93:LEU:C	17	3.9
(1,47)	1:A:31:GLU:C	1:A:32:LEU:N	1:A:32:LEU:CA	1:A:32:LEU:C	12	3.8
(1,186)	1:A:130:HIS:N	1:A:130:HIS:CA	1:A:130:HIS:C	1:A:131:VAL:N	5	3.8
(1,145)	1:A:101:ILE:C	1:A:102:PHE:N	1:A:102:PHE:CA	1:A:102:PHE:C	17	3.8
(1,100)	1:A:66:ALA:N	1:A:66:ALA:CA	1:A:66:ALA:C	1:A:67:LEU:N	5	3.8
(1,100)	1:A:66:ALA:N	1:A:66:ALA:CA	1:A:66:ALA:C	1:A:67:LEU:N	8	3.8
(1,165)	1:A:111:LEU:C	1:A:112:VAL:N	1:A:112:VAL:CA	1:A:112:VAL:C	13	3.7
(1,100)	1:A:66:ALA:N	1:A:66:ALA:CA	1:A:66:ALA:C	1:A:67:LEU:N	2	3.7
(1,100)	1:A:66:ALA:N	1:A:66:ALA:CA	1:A:66:ALA:C	1:A:67:LEU:N	13	3.7
(1,91)	1:A:61:ILE:C	1:A:62:ARG:N	1:A:62:ARG:CA	1:A:62:ARG:C	9	3.6
(1,67)	1:A:47:ASP:C	1:A:48:ALA:N	1:A:48:ALA:CA	1:A:48:ALA:C	12	3.6
(1,54)	1:A:38:ASP:N	1:A:38:ASP:CA	1:A:38:ASP:C	1:A:39:TRP:N	21	3.6
(1,53)	1:A:37:GLY:C	1:A:38:ASP:N	1:A:38:ASP:CA	1:A:38:ASP:C	18	3.6
(1,46)	1:A:31:GLU:N	1:A:31:GLU:CA	1:A:31:GLU:C	1:A:32:LEU:N	16	3.6
(1,45)	1:A:30:LYS:C	1:A:31:GLU:N	1:A:31:GLU:CA	1:A:31:GLU:C	11	3.6
(1,45)	1:A:30:LYS:C	1:A:31:GLU:N	1:A:31:GLU:CA	1:A:31:GLU:C	12	3.6
(1,4)	1:A:7:LEU:N	1:A:7:LEU:CA	1:A:7:LEU:C	1:A:8:HIS:N	13	3.6
(1,139)	1:A:96:THR:C	1:A:97:GLN:N	1:A:97:GLN:CA	1:A:97:GLN:C	6	3.6
(1,115)	1:A:78:GLY:C	1:A:79:VAL:N	1:A:79:VAL:CA	1:A:79:VAL:C	12	3.6
(1,115)	1:A:78:GLY:C	1:A:79:VAL:N	1:A:79:VAL:CA	1:A:79:VAL:C	21	3.6
(1,67)	1:A:47:ASP:C	1:A:48:ALA:N	1:A:48:ALA:CA	1:A:48:ALA:C	10	3.5
(1,46)	1:A:31:GLU:N	1:A:31:GLU:CA	1:A:31:GLU:C	1:A:32:LEU:N	13	3.5
(1,4)	1:A:7:LEU:N	1:A:7:LEU:CA	1:A:7:LEU:C	1:A:8:HIS:N	8	3.5
(1,148)	1:A:103:LEU:N	1:A:103:LEU:CA	1:A:103:LEU:C	1:A:104:LYS:N	22	3.5
(1,139)	1:A:96:THR:C	1:A:97:GLN:N	1:A:97:GLN:CA	1:A:97:GLN:C	22	3.5
(1,100)	1:A:66:ALA:N	1:A:66:ALA:CA	1:A:66:ALA:C	1:A:67:LEU:N	12	3.5
(1,67)	1:A:47:ASP:C	1:A:48:ALA:N	1:A:48:ALA:CA	1:A:48:ALA:C	2	3.4
(1,48)	1:A:32:LEU:N	1:A:32:LEU:CA	1:A:32:LEU:C	1:A:33:LEU:N	8	3.4
(1,4)	1:A:7:LEU:N	1:A:7:LEU:CA	1:A:7:LEU:C	1:A:8:HIS:N	12	3.4
(1,191)	1:A:133:ASP:C	1:A:134:LYS:N	1:A:134:LYS:CA	1:A:134:LYS:C	22	3.4
(1,186)	1:A:130:HIS:N	1:A:130:HIS:CA	1:A:130:HIS:C	1:A:131:VAL:N	10	3.4
(1,139)	1:A:96:THR:C	1:A:97:GLN:N	1:A:97:GLN:CA	1:A:97:GLN:C	1	3.4
(1,139)	1:A:96:THR:C	1:A:97:GLN:N	1:A:97:GLN:CA	1:A:97:GLN:C	5	3.4
(1,128)	1:A:90:THR:N	1:A:90:THR:CA	1:A:90:THR:C	1:A:91:ASN:N	23	3.4
(1,100)	1:A:66:ALA:N	1:A:66:ALA:CA	1:A:66:ALA:C	1:A:67:LEU:N	11	3.4

Continued on next page...

Continued from previous page...

Key	Atom-1	Atom-2	Atom-3	Atom-4	Model ID	Violation (°)
(1,100)	1:A:66:ALA:N	1:A:66:ALA:CA	1:A:66:ALA:C	1:A:67:LEU:N	23	3.4
(1,48)	1:A:32:LEU:N	1:A:32:LEU:CA	1:A:32:LEU:C	1:A:33:LEU:N	17	3.3
(1,177)	1:A:124:THR:C	1:A:125:THR:N	1:A:125:THR:CA	1:A:125:THR:C	18	3.3
(1,71)	1:A:49:PHE:C	1:A:50:LYS:N	1:A:50:LYS:CA	1:A:50:LYS:C	8	3.2
(1,66)	1:A:47:ASP:N	1:A:47:ASP:CA	1:A:47:ASP:C	1:A:48:ALA:N	17	3.2
(1,46)	1:A:31:GLU:N	1:A:31:GLU:CA	1:A:31:GLU:C	1:A:32:LEU:N	21	3.2
(1,4)	1:A:7:LEU:N	1:A:7:LEU:CA	1:A:7:LEU:C	1:A:8:HIS:N	3	3.2
(1,186)	1:A:130:HIS:N	1:A:130:HIS:CA	1:A:130:HIS:C	1:A:131:VAL:N	11	3.2
(1,100)	1:A:66:ALA:N	1:A:66:ALA:CA	1:A:66:ALA:C	1:A:67:LEU:N	3	3.2
(1,100)	1:A:66:ALA:N	1:A:66:ALA:CA	1:A:66:ALA:C	1:A:67:LEU:N	10	3.2
(1,67)	1:A:47:ASP:C	1:A:48:ALA:N	1:A:48:ALA:CA	1:A:48:ALA:C	21	3.1
(1,2)	1:A:6:SER:N	1:A:6:SER:CA	1:A:6:SER:C	1:A:7:LEU:N	14	3.1
(1,177)	1:A:124:THR:C	1:A:125:THR:N	1:A:125:THR:CA	1:A:125:THR:C	13	3.1
(1,165)	1:A:111:LEU:C	1:A:112:VAL:N	1:A:112:VAL:CA	1:A:112:VAL:C	5	3.1
(1,145)	1:A:101:ILE:C	1:A:102:PHE:N	1:A:102:PHE:CA	1:A:102:PHE:C	21	3.1
(1,139)	1:A:96:THR:C	1:A:97:GLN:N	1:A:97:GLN:CA	1:A:97:GLN:C	3	3.1
(1,139)	1:A:96:THR:C	1:A:97:GLN:N	1:A:97:GLN:CA	1:A:97:GLN:C	16	3.1
(1,133)	1:A:92:ILE:C	1:A:93:LEU:N	1:A:93:LEU:CA	1:A:93:LEU:C	19	3.1
(1,100)	1:A:66:ALA:N	1:A:66:ALA:CA	1:A:66:ALA:C	1:A:67:LEU:N	6	3.1
(1,100)	1:A:66:ALA:N	1:A:66:ALA:CA	1:A:66:ALA:C	1:A:67:LEU:N	16	3.1
(1,72)	1:A:50:LYS:N	1:A:50:LYS:CA	1:A:50:LYS:C	1:A:51:GLY:N	8	3.0
(1,54)	1:A:38:ASP:N	1:A:38:ASP:CA	1:A:38:ASP:C	1:A:39:TRP:N	13	3.0
(1,46)	1:A:31:GLU:N	1:A:31:GLU:CA	1:A:31:GLU:C	1:A:32:LEU:N	6	3.0
(1,46)	1:A:31:GLU:N	1:A:31:GLU:CA	1:A:31:GLU:C	1:A:32:LEU:N	20	3.0
(1,4)	1:A:7:LEU:N	1:A:7:LEU:CA	1:A:7:LEU:C	1:A:8:HIS:N	1	3.0
(1,154)	1:A:106:VAL:N	1:A:106:VAL:CA	1:A:106:VAL:C	1:A:107:ASN:N	2	3.0
(1,139)	1:A:96:THR:C	1:A:97:GLN:N	1:A:97:GLN:CA	1:A:97:GLN:C	7	3.0
(1,66)	1:A:47:ASP:N	1:A:47:ASP:CA	1:A:47:ASP:C	1:A:48:ALA:N	19	2.9
(1,33)	1:A:22:SER:C	1:A:23:LEU:N	1:A:23:LEU:CA	1:A:23:LEU:C	7	2.9
(1,186)	1:A:130:HIS:N	1:A:130:HIS:CA	1:A:130:HIS:C	1:A:131:VAL:N	20	2.9
(1,152)	1:A:105:GLU:N	1:A:105:GLU:CA	1:A:105:GLU:C	1:A:106:VAL:N	12	2.9
(1,139)	1:A:96:THR:C	1:A:97:GLN:N	1:A:97:GLN:CA	1:A:97:GLN:C	4	2.9
(1,139)	1:A:96:THR:C	1:A:97:GLN:N	1:A:97:GLN:CA	1:A:97:GLN:C	12	2.9
(1,100)	1:A:66:ALA:N	1:A:66:ALA:CA	1:A:66:ALA:C	1:A:67:LEU:N	19	2.9
(1,91)	1:A:61:ILE:C	1:A:62:ARG:N	1:A:62:ARG:CA	1:A:62:ARG:C	23	2.8
(1,54)	1:A:38:ASP:N	1:A:38:ASP:CA	1:A:38:ASP:C	1:A:39:TRP:N	8	2.8
(1,46)	1:A:31:GLU:N	1:A:31:GLU:CA	1:A:31:GLU:C	1:A:32:LEU:N	23	2.8
(1,4)	1:A:7:LEU:N	1:A:7:LEU:CA	1:A:7:LEU:C	1:A:8:HIS:N	19	2.8
(1,139)	1:A:96:THR:C	1:A:97:GLN:N	1:A:97:GLN:CA	1:A:97:GLN:C	2	2.8
(1,139)	1:A:96:THR:C	1:A:97:GLN:N	1:A:97:GLN:CA	1:A:97:GLN:C	14	2.8
(1,100)	1:A:66:ALA:N	1:A:66:ALA:CA	1:A:66:ALA:C	1:A:67:LEU:N	1	2.8
(1,100)	1:A:66:ALA:N	1:A:66:ALA:CA	1:A:66:ALA:C	1:A:67:LEU:N	7	2.8
(1,91)	1:A:61:ILE:C	1:A:62:ARG:N	1:A:62:ARG:CA	1:A:62:ARG:C	16	2.7
(1,46)	1:A:31:GLU:N	1:A:31:GLU:CA	1:A:31:GLU:C	1:A:32:LEU:N	22	2.7
(1,4)	1:A:7:LEU:N	1:A:7:LEU:CA	1:A:7:LEU:C	1:A:8:HIS:N	17	2.7
(1,4)	1:A:7:LEU:N	1:A:7:LEU:CA	1:A:7:LEU:C	1:A:8:HIS:N	18	2.7
(1,190)	1:A:132:VAL:N	1:A:132:VAL:CA	1:A:132:VAL:C	1:A:133:ASP:N	21	2.7
(1,184)	1:A:129:ILE:N	1:A:129:ILE:CA	1:A:129:ILE:C	1:A:130:HIS:N	7	2.7
(1,165)	1:A:111:LEU:C	1:A:112:VAL:N	1:A:112:VAL:CA	1:A:112:VAL:C	15	2.7
(1,139)	1:A:96:THR:C	1:A:97:GLN:N	1:A:97:GLN:CA	1:A:97:GLN:C	8	2.7
(1,124)	1:A:86:GLU:N	1:A:86:GLU:CA	1:A:86:GLU:C	1:A:87:PRO:N	15	2.7

Continued on next page...

Continued from previous page...

Key	Atom-1	Atom-2	Atom-3	Atom-4	Model ID	Violation (°)
(1,122)	1:A:85:PHE:N	1:A:85:PHE:CA	1:A:85:PHE:C	1:A:86:GLU:N	2	2.7
(1,54)	1:A:38:ASP:N	1:A:38:ASP:CA	1:A:38:ASP:C	1:A:39:TRP:N	17	2.6
(1,48)	1:A:32:LEU:N	1:A:32:LEU:CA	1:A:32:LEU:C	1:A:33:LEU:N	21	2.6
(1,165)	1:A:111:LEU:C	1:A:112:VAL:N	1:A:112:VAL:CA	1:A:112:VAL:C	2	2.6
(1,145)	1:A:101:ILE:C	1:A:102:PHE:N	1:A:102:PHE:CA	1:A:102:PHE:C	19	2.6
(1,139)	1:A:96:THR:C	1:A:97:GLN:N	1:A:97:GLN:CA	1:A:97:GLN:C	20	2.6
(1,133)	1:A:92:ILE:C	1:A:93:LEU:N	1:A:93:LEU:CA	1:A:93:LEU:C	11	2.6
(1,80)	1:A:56:GLU:N	1:A:56:GLU:CA	1:A:56:GLU:C	1:A:57:LYS:N	22	2.5
(1,67)	1:A:47:ASP:C	1:A:48:ALA:N	1:A:48:ALA:CA	1:A:48:ALA:C	11	2.5
(1,53)	1:A:37:GLY:C	1:A:38:ASP:N	1:A:38:ASP:CA	1:A:38:ASP:C	14	2.5
(1,48)	1:A:32:LEU:N	1:A:32:LEU:CA	1:A:32:LEU:C	1:A:33:LEU:N	6	2.5
(1,139)	1:A:96:THR:C	1:A:97:GLN:N	1:A:97:GLN:CA	1:A:97:GLN:C	13	2.5
(1,139)	1:A:96:THR:C	1:A:97:GLN:N	1:A:97:GLN:CA	1:A:97:GLN:C	18	2.5
(1,124)	1:A:86:GLU:N	1:A:86:GLU:CA	1:A:86:GLU:C	1:A:87:PRO:N	20	2.5
(1,115)	1:A:78:GLY:C	1:A:79:VAL:N	1:A:79:VAL:CA	1:A:79:VAL:C	9	2.5
(1,71)	1:A:49:PHE:C	1:A:50:LYS:N	1:A:50:LYS:CA	1:A:50:LYS:C	5	2.4
(1,54)	1:A:38:ASP:N	1:A:38:ASP:CA	1:A:38:ASP:C	1:A:39:TRP:N	4	2.4
(1,48)	1:A:32:LEU:N	1:A:32:LEU:CA	1:A:32:LEU:C	1:A:33:LEU:N	7	2.4
(1,133)	1:A:92:ILE:C	1:A:93:LEU:N	1:A:93:LEU:CA	1:A:93:LEU:C	10	2.4
(1,54)	1:A:38:ASP:N	1:A:38:ASP:CA	1:A:38:ASP:C	1:A:39:TRP:N	22	2.3
(1,47)	1:A:31:GLU:C	1:A:32:LEU:N	1:A:32:LEU:CA	1:A:32:LEU:C	4	2.3
(1,4)	1:A:7:LEU:N	1:A:7:LEU:CA	1:A:7:LEU:C	1:A:8:HIS:N	11	2.3
(1,139)	1:A:96:THR:C	1:A:97:GLN:N	1:A:97:GLN:CA	1:A:97:GLN:C	15	2.3
(1,133)	1:A:92:ILE:C	1:A:93:LEU:N	1:A:93:LEU:CA	1:A:93:LEU:C	21	2.3
(1,115)	1:A:78:GLY:C	1:A:79:VAL:N	1:A:79:VAL:CA	1:A:79:VAL:C	4	2.3
(1,100)	1:A:66:ALA:N	1:A:66:ALA:CA	1:A:66:ALA:C	1:A:67:LEU:N	4	2.3
(1,100)	1:A:66:ALA:N	1:A:66:ALA:CA	1:A:66:ALA:C	1:A:67:LEU:N	22	2.3
(1,86)	1:A:59:ILE:N	1:A:59:ILE:CA	1:A:59:ILE:C	1:A:60:LEU:N	6	2.2
(1,72)	1:A:50:LYS:N	1:A:50:LYS:CA	1:A:50:LYS:C	1:A:51:GLY:N	5	2.2
(1,69)	1:A:48:ALA:C	1:A:49:PHE:N	1:A:49:PHE:CA	1:A:49:PHE:C	8	2.2
(1,67)	1:A:47:ASP:C	1:A:48:ALA:N	1:A:48:ALA:CA	1:A:48:ALA:C	17	2.2
(1,46)	1:A:31:GLU:N	1:A:31:GLU:CA	1:A:31:GLU:C	1:A:32:LEU:N	2	2.2
(1,165)	1:A:111:LEU:C	1:A:112:VAL:N	1:A:112:VAL:CA	1:A:112:VAL:C	12	2.2
(1,124)	1:A:86:GLU:N	1:A:86:GLU:CA	1:A:86:GLU:C	1:A:87:PRO:N	14	2.2
(1,91)	1:A:61:ILE:C	1:A:62:ARG:N	1:A:62:ARG:CA	1:A:62:ARG:C	20	2.1
(1,88)	1:A:60:LEU:N	1:A:60:LEU:CA	1:A:60:LEU:C	1:A:61:ILE:N	19	2.1
(1,71)	1:A:49:PHE:C	1:A:50:LYS:N	1:A:50:LYS:CA	1:A:50:LYS:C	3	2.1
(1,44)	1:A:29:LEU:N	1:A:29:LEU:CA	1:A:29:LEU:C	1:A:30:LYS:N	12	2.1
(1,100)	1:A:66:ALA:N	1:A:66:ALA:CA	1:A:66:ALA:C	1:A:67:LEU:N	15	2.1
(1,100)	1:A:66:ALA:N	1:A:66:ALA:CA	1:A:66:ALA:C	1:A:67:LEU:N	18	2.1
(1,69)	1:A:48:ALA:C	1:A:49:PHE:N	1:A:49:PHE:CA	1:A:49:PHE:C	20	2.0
(1,54)	1:A:38:ASP:N	1:A:38:ASP:CA	1:A:38:ASP:C	1:A:39:TRP:N	14	2.0
(1,48)	1:A:32:LEU:N	1:A:32:LEU:CA	1:A:32:LEU:C	1:A:33:LEU:N	4	2.0
(1,46)	1:A:31:GLU:N	1:A:31:GLU:CA	1:A:31:GLU:C	1:A:32:LEU:N	7	2.0
(1,44)	1:A:29:LEU:N	1:A:29:LEU:CA	1:A:29:LEU:C	1:A:30:LYS:N	19	2.0
(1,4)	1:A:7:LEU:N	1:A:7:LEU:CA	1:A:7:LEU:C	1:A:8:HIS:N	2	2.0
(1,190)	1:A:132:VAL:N	1:A:132:VAL:CA	1:A:132:VAL:C	1:A:133:ASP:N	7	2.0
(1,127)	1:A:89:VAL:C	1:A:90:THR:N	1:A:90:THR:CA	1:A:90:THR:C	9	2.0
(1,124)	1:A:86:GLU:N	1:A:86:GLU:CA	1:A:86:GLU:C	1:A:87:PRO:N	13	2.0
(1,117)	1:A:79:VAL:C	1:A:80:PHE:N	1:A:80:PHE:CA	1:A:80:PHE:C	6	2.0
(1,100)	1:A:66:ALA:N	1:A:66:ALA:CA	1:A:66:ALA:C	1:A:67:LEU:N	9	2.0

Continued on next page...

Continued from previous page...

Key	Atom-1	Atom-2	Atom-3	Atom-4	Model ID	Violation (°)
(1,191)	1:A:133:ASP:C	1:A:134:LYS:N	1:A:134:LYS:CA	1:A:134:LYS:C	10	1.9
(1,134)	1:A:93:LEU:N	1:A:93:LEU:CA	1:A:93:LEU:C	1:A:94:LYS:N	10	1.9
(1,119)	1:A:80:PHE:C	1:A:81:ILE:N	1:A:81:ILE:CA	1:A:81:ILE:C	1	1.9
(1,115)	1:A:78:GLY:C	1:A:79:VAL:N	1:A:79:VAL:CA	1:A:79:VAL:C	2	1.9
(1,190)	1:A:132:VAL:N	1:A:132:VAL:CA	1:A:132:VAL:C	1:A:133:ASP:N	12	1.8
(1,157)	1:A:107:ASN:C	1:A:108:ASP:N	1:A:108:ASP:CA	1:A:108:ASP:C	19	1.8
(1,145)	1:A:101:ILE:C	1:A:102:PHE:N	1:A:102:PHE:CA	1:A:102:PHE:C	22	1.8
(1,139)	1:A:96:THR:C	1:A:97:GLN:N	1:A:97:GLN:CA	1:A:97:GLN:C	9	1.8
(1,124)	1:A:86:GLU:N	1:A:86:GLU:CA	1:A:86:GLU:C	1:A:87:PRO:N	8	1.8
(1,100)	1:A:66:ALA:N	1:A:66:ALA:CA	1:A:66:ALA:C	1:A:67:LEU:N	21	1.8
(1,94)	1:A:63:ASP:N	1:A:63:ASP:CA	1:A:63:ASP:C	1:A:64:LYS:N	14	1.7
(1,46)	1:A:31:GLU:N	1:A:31:GLU:CA	1:A:31:GLU:C	1:A:32:LEU:N	18	1.7
(1,46)	1:A:31:GLU:N	1:A:31:GLU:CA	1:A:31:GLU:C	1:A:32:LEU:N	19	1.7
(1,190)	1:A:132:VAL:N	1:A:132:VAL:CA	1:A:132:VAL:C	1:A:133:ASP:N	4	1.7
(1,186)	1:A:130:HIS:N	1:A:130:HIS:CA	1:A:130:HIS:C	1:A:131:VAL:N	13	1.7
(1,186)	1:A:130:HIS:N	1:A:130:HIS:CA	1:A:130:HIS:C	1:A:131:VAL:N	22	1.7
(1,139)	1:A:96:THR:C	1:A:97:GLN:N	1:A:97:GLN:CA	1:A:97:GLN:C	19	1.7
(1,117)	1:A:79:VAL:C	1:A:80:PHE:N	1:A:80:PHE:CA	1:A:80:PHE:C	7	1.7
(1,115)	1:A:78:GLY:C	1:A:79:VAL:N	1:A:79:VAL:CA	1:A:79:VAL:C	1	1.7
(1,115)	1:A:78:GLY:C	1:A:79:VAL:N	1:A:79:VAL:CA	1:A:79:VAL:C	18	1.7
(1,91)	1:A:61:ILE:C	1:A:62:ARG:N	1:A:62:ARG:CA	1:A:62:ARG:C	7	1.6
(1,44)	1:A:29:LEU:N	1:A:29:LEU:CA	1:A:29:LEU:C	1:A:30:LYS:N	9	1.6
(1,44)	1:A:29:LEU:N	1:A:29:LEU:CA	1:A:29:LEU:C	1:A:30:LYS:N	14	1.6
(1,177)	1:A:124:THR:C	1:A:125:THR:N	1:A:125:THR:CA	1:A:125:THR:C	20	1.6
(1,166)	1:A:112:VAL:N	1:A:112:VAL:CA	1:A:112:VAL:C	1:A:113:ASN:N	1	1.6
(1,159)	1:A:108:ASP:C	1:A:109:THR:N	1:A:109:THR:CA	1:A:109:THR:C	20	1.6
(1,145)	1:A:101:ILE:C	1:A:102:PHE:N	1:A:102:PHE:CA	1:A:102:PHE:C	11	1.6
(1,122)	1:A:85:PHE:N	1:A:85:PHE:CA	1:A:85:PHE:C	1:A:86:GLU:N	21	1.6
(1,120)	1:A:81:ILE:N	1:A:81:ILE:CA	1:A:81:ILE:C	1:A:82:GLY:N	20	1.6
(1,69)	1:A:48:ALA:C	1:A:49:PHE:N	1:A:49:PHE:CA	1:A:49:PHE:C	21	1.5
(1,59)	1:A:40:THR:C	1:A:41:LEU:N	1:A:41:LEU:CA	1:A:41:LEU:C	3	1.5
(1,51)	1:A:33:LEU:C	1:A:34:THR:N	1:A:34:THR:CA	1:A:34:THR:C	13	1.5
(1,4)	1:A:7:LEU:N	1:A:7:LEU:CA	1:A:7:LEU:C	1:A:8:HIS:N	22	1.5
(1,4)	1:A:7:LEU:N	1:A:7:LEU:CA	1:A:7:LEU:C	1:A:8:HIS:N	23	1.5
(1,191)	1:A:133:ASP:C	1:A:134:LYS:N	1:A:134:LYS:CA	1:A:134:LYS:C	20	1.5
(1,189)	1:A:131:VAL:C	1:A:132:VAL:N	1:A:132:VAL:CA	1:A:132:VAL:C	9	1.5
(1,186)	1:A:130:HIS:N	1:A:130:HIS:CA	1:A:130:HIS:C	1:A:131:VAL:N	4	1.5
(1,186)	1:A:130:HIS:N	1:A:130:HIS:CA	1:A:130:HIS:C	1:A:131:VAL:N	7	1.5
(1,186)	1:A:130:HIS:N	1:A:130:HIS:CA	1:A:130:HIS:C	1:A:131:VAL:N	17	1.5
(1,186)	1:A:130:HIS:N	1:A:130:HIS:CA	1:A:130:HIS:C	1:A:131:VAL:N	23	1.5
(1,177)	1:A:124:THR:C	1:A:125:THR:N	1:A:125:THR:CA	1:A:125:THR:C	14	1.5
(1,172)	1:A:119:GLU:N	1:A:119:GLU:CA	1:A:119:GLU:C	1:A:120:SER:N	9	1.5
(1,151)	1:A:104:LYS:C	1:A:105:GLU:N	1:A:105:GLU:CA	1:A:105:GLU:C	12	1.5
(1,126)	1:A:89:VAL:N	1:A:89:VAL:CA	1:A:89:VAL:C	1:A:90:THR:N	15	1.5
(1,10)	1:A:10:LYS:N	1:A:10:LYS:CA	1:A:10:LYS:C	1:A:11:LEU:N	5	1.5
(1,91)	1:A:61:ILE:C	1:A:62:ARG:N	1:A:62:ARG:CA	1:A:62:ARG:C	3	1.4
(1,91)	1:A:61:ILE:C	1:A:62:ARG:N	1:A:62:ARG:CA	1:A:62:ARG:C	21	1.4
(1,80)	1:A:56:GLU:N	1:A:56:GLU:CA	1:A:56:GLU:C	1:A:57:LYS:N	14	1.4
(1,72)	1:A:50:LYS:N	1:A:50:LYS:CA	1:A:50:LYS:C	1:A:51:GLY:N	9	1.4
(1,67)	1:A:47:ASP:C	1:A:48:ALA:N	1:A:48:ALA:CA	1:A:48:ALA:C	8	1.4
(1,46)	1:A:31:GLU:N	1:A:31:GLU:CA	1:A:31:GLU:C	1:A:32:LEU:N	10	1.4

Continued on next page...

Continued from previous page...

Key	Atom-1	Atom-2	Atom-3	Atom-4	Model ID	Violation (°)
(1,4)	1:A:7:LEU:N	1:A:7:LEU:CA	1:A:7:LEU:C	1:A:8:HIS:N	7	1.4
(1,4)	1:A:7:LEU:N	1:A:7:LEU:CA	1:A:7:LEU:C	1:A:8:HIS:N	21	1.4
(1,190)	1:A:132:VAL:N	1:A:132:VAL:CA	1:A:132:VAL:C	1:A:133:ASP:N	16	1.4
(1,180)	1:A:126:ASN:N	1:A:126:ASN:CA	1:A:126:ASN:C	1:A:127:GLY:N	5	1.4
(1,178)	1:A:125:THR:N	1:A:125:THR:CA	1:A:125:THR:C	1:A:126:ASN:N	9	1.4
(1,139)	1:A:96:THR:C	1:A:97:GLN:N	1:A:97:GLN:CA	1:A:97:GLN:C	21	1.4
(1,122)	1:A:85:PHE:N	1:A:85:PHE:CA	1:A:85:PHE:C	1:A:86:GLU:N	4	1.4
(1,120)	1:A:81:ILE:N	1:A:81:ILE:CA	1:A:81:ILE:C	1:A:82:GLY:N	12	1.4
(1,120)	1:A:81:ILE:N	1:A:81:ILE:CA	1:A:81:ILE:C	1:A:82:GLY:N	21	1.4
(1,94)	1:A:63:ASP:N	1:A:63:ASP:CA	1:A:63:ASP:C	1:A:64:LYS:N	9	1.3
(1,67)	1:A:47:ASP:C	1:A:48:ALA:N	1:A:48:ALA:CA	1:A:48:ALA:C	5	1.3
(1,53)	1:A:37:GLY:C	1:A:38:ASP:N	1:A:38:ASP:CA	1:A:38:ASP:C	7	1.3
(1,51)	1:A:33:LEU:C	1:A:34:THR:N	1:A:34:THR:CA	1:A:34:THR:C	4	1.3
(1,4)	1:A:7:LEU:N	1:A:7:LEU:CA	1:A:7:LEU:C	1:A:8:HIS:N	16	1.3
(1,195)	1:A:136:LEU:C	1:A:137:TYR:N	1:A:137:TYR:CA	1:A:137:TYR:C	14	1.3
(1,186)	1:A:130:HIS:N	1:A:130:HIS:CA	1:A:130:HIS:C	1:A:131:VAL:N	1	1.3
(1,16)	1:A:13:GLN:N	1:A:13:GLN:CA	1:A:13:GLN:C	1:A:14:ASP:N	14	1.3
(1,85)	1:A:58:GLU:C	1:A:59:ILE:N	1:A:59:ILE:CA	1:A:59:ILE:C	19	1.2
(1,69)	1:A:48:ALA:C	1:A:49:PHE:N	1:A:49:PHE:CA	1:A:49:PHE:C	9	1.2
(1,67)	1:A:47:ASP:C	1:A:48:ALA:N	1:A:48:ALA:CA	1:A:48:ALA:C	3	1.2
(1,56)	1:A:39:TRP:N	1:A:39:TRP:CA	1:A:39:TRP:C	1:A:40:THR:N	21	1.2
(1,55)	1:A:38:ASP:C	1:A:39:TRP:N	1:A:39:TRP:CA	1:A:39:TRP:C	5	1.2
(1,54)	1:A:38:ASP:N	1:A:38:ASP:CA	1:A:38:ASP:C	1:A:39:TRP:N	2	1.2
(1,52)	1:A:34:THR:N	1:A:34:THR:CA	1:A:34:THR:C	1:A:35:GLN:N	20	1.2
(1,45)	1:A:30:LYS:C	1:A:31:GLU:N	1:A:31:GLU:CA	1:A:31:GLU:C	18	1.2
(1,191)	1:A:133:ASP:C	1:A:134:LYS:N	1:A:134:LYS:CA	1:A:134:LYS:C	8	1.2
(1,191)	1:A:133:ASP:C	1:A:134:LYS:N	1:A:134:LYS:CA	1:A:134:LYS:C	23	1.2
(1,186)	1:A:130:HIS:N	1:A:130:HIS:CA	1:A:130:HIS:C	1:A:131:VAL:N	8	1.2
(1,170)	1:A:118:LYS:N	1:A:118:LYS:CA	1:A:118:LYS:C	1:A:119:GLU:N	11	1.2
(1,147)	1:A:102:PHE:C	1:A:103:LEU:N	1:A:103:LEU:CA	1:A:103:LEU:C	22	1.2
(1,124)	1:A:86:GLU:N	1:A:86:GLU:CA	1:A:86:GLU:C	1:A:87:PRO:N	17	1.2
(1,77)	1:A:54:SER:C	1:A:55:GLU:N	1:A:55:GLU:CA	1:A:55:GLU:C	22	1.1
(1,72)	1:A:50:LYS:N	1:A:50:LYS:CA	1:A:50:LYS:C	1:A:51:GLY:N	22	1.1
(1,69)	1:A:48:ALA:C	1:A:49:PHE:N	1:A:49:PHE:CA	1:A:49:PHE:C	4	1.1
(1,56)	1:A:39:TRP:N	1:A:39:TRP:CA	1:A:39:TRP:C	1:A:40:THR:N	19	1.1
(1,5)	1:A:7:LEU:C	1:A:8:HIS:N	1:A:8:HIS:CA	1:A:8:HIS:C	11	1.1
(1,45)	1:A:30:LYS:C	1:A:31:GLU:N	1:A:31:GLU:CA	1:A:31:GLU:C	1	1.1
(1,44)	1:A:29:LEU:N	1:A:29:LEU:CA	1:A:29:LEU:C	1:A:30:LYS:N	13	1.1
(1,182)	1:A:128:VAL:N	1:A:128:VAL:CA	1:A:128:VAL:C	1:A:129:ILE:N	21	1.1
(1,176)	1:A:124:THR:N	1:A:124:THR:CA	1:A:124:THR:C	1:A:125:THR:N	6	1.1
(1,165)	1:A:111:LEU:C	1:A:112:VAL:N	1:A:112:VAL:CA	1:A:112:VAL:C	8	1.1
(1,145)	1:A:101:ILE:C	1:A:102:PHE:N	1:A:102:PHE:CA	1:A:102:PHE:C	9	1.1
(1,124)	1:A:86:GLU:N	1:A:86:GLU:CA	1:A:86:GLU:C	1:A:87:PRO:N	23	1.1
(1,12)	1:A:11:LEU:N	1:A:11:LEU:CA	1:A:11:LEU:C	1:A:12:LYS:N	4	1.1
(1,12)	1:A:11:LEU:N	1:A:11:LEU:CA	1:A:11:LEU:C	1:A:12:LYS:N	21	1.1